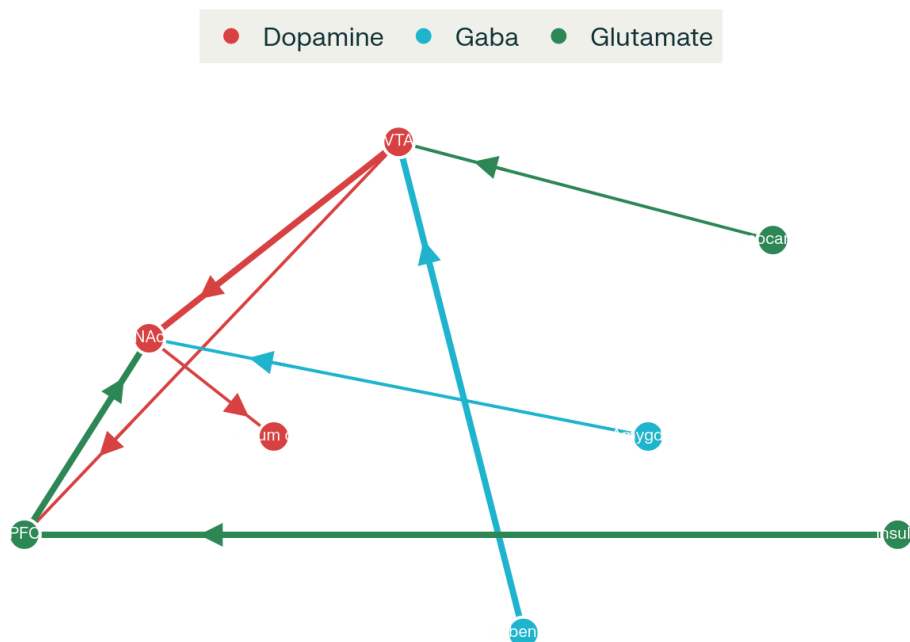


Circuits de l'Addiction et Mécanismes Neurobiologiques : Une Analyse Approfondie des Dépendances avec et sans Substance

L'addiction représente un trouble neurobiologique complexe caractérisé par des altérations durables des circuits cérébraux de la récompense, de la motivation, de la mémoire et du contrôle cognitif. Les recherches contemporaines révèlent que les addictions avec substances (drogues, alcool) et sans substance (jeu pathologique, dépendance alimentaire, gaming) partagent des mécanismes neurobiologiques similaires, impliquant des modifications épigénétiques, une neuroplasticité maladaptive et des dysfonctionnements des systèmes de neurotransmission. Cette synthèse examine les circuits neuronaux spécifiques, les mécanismes moléculaires et les implications thérapeutiques de ces découvertes pour comprendre comment l'expérimentation occasionnelle évolue vers la compulsivité caractéristique de l'addiction.

Brain Addiction Circuits



Circuits neurobiologiques de l'addiction : principales régions cérébrales et leurs connexions neurotransmettrices

Architecture Neurocircuitaire de l'Addiction

Circuits Mesocorticolimbiques et Système de Récompense

Le système mesocorticolimbique constitue le substrat neurobiologique principal de l'addiction, centré sur l'aire tegmentale ventrale (VTA) et ses projections dopaminergiques vers le noyau accumbens (NAc) et le cortex préfrontal. La VTA contient des neurones dopaminergiques, GABAergiques et glutamatergiques qui régulent finement l'activité du circuit de récompense. Les neurones dopaminergiques de la VTA répondent initialement aux substances addictives en libérant massivement de la dopamine dans le NAc, créant l'expérience subjective de plaisir et renforçant le comportement de consommation.^{[1] [2] [3] [4] [5] [6]}

Les recherches récentes révèlent une organisation plus nuancée de ces circuits. Le NAc est composé à 95% de neurones exprimant les récepteurs dopaminergiques D1 et D2, qui médient des effets opposés sur le comportement addictif. L'activation des récepteurs D1 favorise généralement la recherche de drogue, tandis que l'activation des récepteurs D2 tend à l'inhiber. Paradoxalement, une sous-population significative de neurones co-exprime les deux types de récepteurs, formant des hétéromères D1-D2 qui exercent un contrôle inhibiteur tonique sur la récompense naturelle et artificielle.^{[7] [8] [9]}

Dysfonctionnements du Striatum et Transition vers l'Habitude

La progression de l'usage occasionnel vers l'addiction implique une transition neuroanatomique du striatum ventral (associé à la récompense) vers le striatum dorsal (associé aux habitudes). Cette transition reflète un changement des mécanismes de contrôle comportemental : de la recherche de plaisir (récompense positive) vers l'évitement de la dysphorie (renforcement négatif). Les études d'imagerie cérébrale démontrent que les individus addicts présentent une activation accrue du striatum dorsal en réponse aux indices liés à la drogue, corrélée à la sévérité de la dépendance.^{[10] [11] [12] [13] [14] [3]}

Circuits Préfrontaux et Contrôle Cognitif

Le cortex préfrontal, particulièrement les régions orbitofrontales et dorsolatérales, régule le contrôle exécutif et la prise de décision. Dans l'addiction, ces régions montrent une hypoactivation chronique, compromettant la capacité à inhiber les comportements impulsifs et à évaluer les conséquences négatives à long terme. L'insula joue un rôle crucial dans l'interception et l'awareness des états corporels, traduisant les sensations physiques en craving conscient. L'hyperactivation de l'insula corrèle avec l'intensité du craving et peut constituer une cible thérapeutique prometteuse.^{[10] [1] [13] [15] [16]}

Mécanismes Neurochimiques et Systèmes de Neurotransmission

Système Dopaminergique : Au-delà de l'Hypothèse du Plaisir

Contrairement aux conceptions initiales, la dopamine ne code pas directement le plaisir mais signale l'erreur de prédiction de récompense et la saillance motivationnelle. L'exposition chronique aux substances entraîne une désensibilisation des récepteurs dopaminergiques, particulièrement les récepteurs D2, observée dans toutes les catégories d'addiction. Cette diminution persiste pendant des mois d'abstinence et corrèle avec l'intensité du craving et le risque de rechute. ^{[17] [18] [14] [19] [20]}

Les études récentes révèlent l'importance des autorécepteurs dopaminergiques dans la régulation de la libération de dopamine. Des autorécepteurs faibles constituent un facteur de risque pour les comportements externalisants et l'addiction, suggérant une vulnérabilité neurobiologique préexistante. ^{[21] [22]}

Équilibre Glutamate-GABA et Plasticité Synaptique

L'addiction implique un déséquilibre fondamental entre la neurotransmission excitatrice glutamatergique et inhibitrice GABAergique. Le glutamate, principal neurotransmetteur excitateur, médiatise la plasticité synaptique à long terme à travers les récepteurs AMPA et NMDA. L'exposition chronique aux drogues altère cette plasticité, créant des "traces mnésiques" pathologiques qui persistent longtemps après l'arrêt de la consommation. ^{[23] [24] [25] [26] [27]}

Le système GABA, principal neurotransmetteur inhibiteur, module l'activité des neurones dopaminergiques de la VTA. Les recherches récentes montrent que la cocaïne et la morphine perturbent l'homéostasie du chlorure dans les neurones GABAergiques de la VTA, compromettant leur fonction inhibitrice. Cette altération persiste 30 jours après l'auto-administration de morphine, illustrant la durabilité des changements neuroplastiques. ^{[28] [29]}

Systèmes Opioïdiques et Endocannabinoïdes

Le système opioïdique endogène, comprenant les enképhalines, les endorphines et les dynorphines, régule les aspects hédoniques de la récompense et la réponse au stress. La dynorphine, libérée lors du sevrage, active les récepteurs kappa-opioïdes et induit des états dysphoriques qui motivent la reprise de consommation. Les endocannabinoïdes modulent la libération de dopamine et participent aux processus d'extinction de la mémoire associative. ^{[30] [31]}

Mécanismes Épigénétiques et Modifications Transcriptionnelles

Modifications des Histones et Régulation Génique

L'addiction induit des changements épigénétiques durables qui modifient l'expression génique sans altérer la séquence d'ADN. Les modifications des histones, particulièrement l'acétylation H3K9 et H3K14 et la triméthylation H3K4, régulent l'accessibilité de la chromatine et l'expression des gènes liés à la plasticité neuronale. L'exposition chronique à la cocaïne augmente l'acétylation des histones dans le NAc, facilitant l'expression de gènes impliqués dans la restructuration dendritique et la formation de nouvelles synapses. ^{[32] [33] [34] [35] [36]}

Les inhibiteurs d'histone désacétylases (HDAC) modifient les effets comportementaux des drogues, suggérant des approches thérapeutiques épigénétiques. L'inhibition des HDAC peut potentialiser ou atténuer les effets des substances selon le contexte temporel et régional. ^[37] ^[38] ^[33]

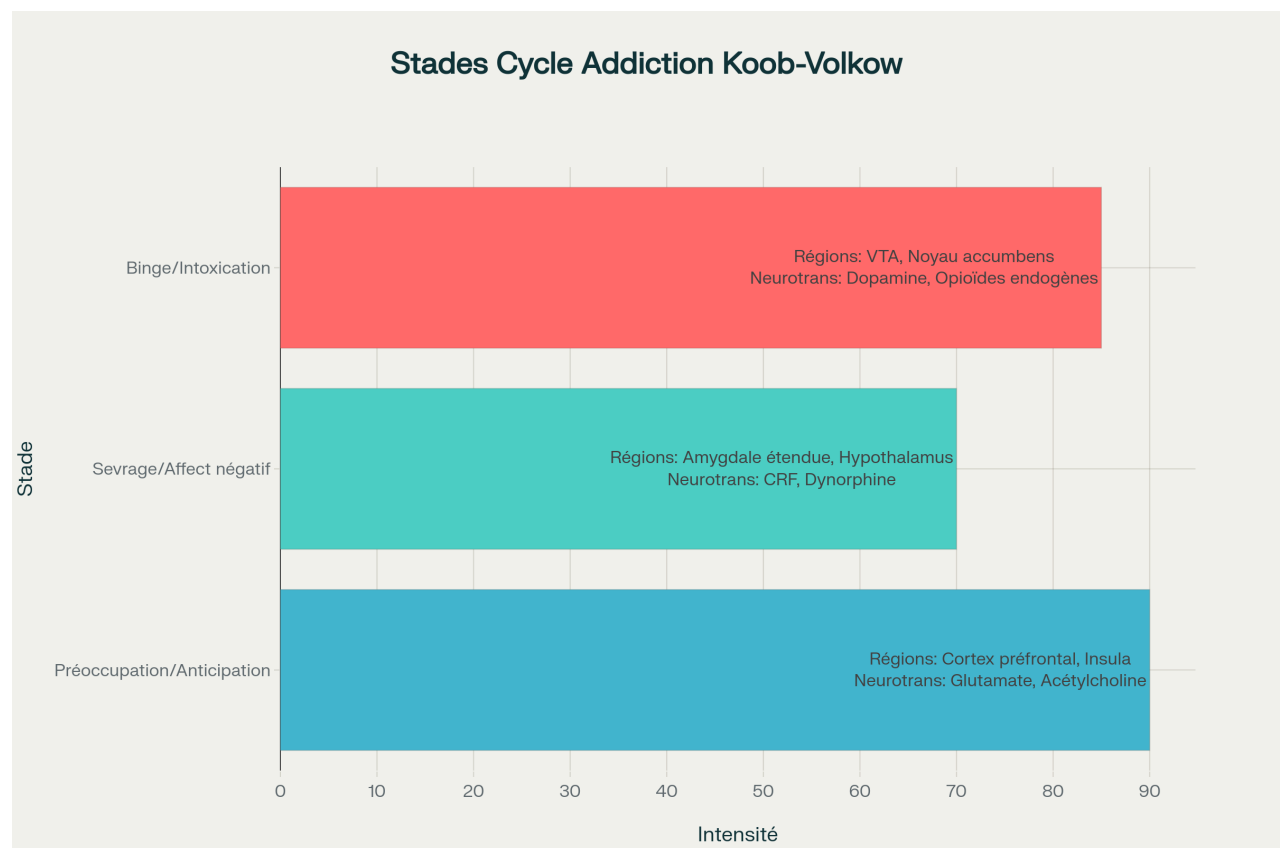
Méthylation de l'ADN et Héritabilité Transgénérationnelle

La méthylation de l'ADN constitue un mécanisme épigénétique plus stable régulant l'expression génique à long terme. L'exposition aux méthamphétamines altère les profils de méthylation dans les voies de neuroreward, affectant l'expression de gènes associés à la fonction cérébrale et à la structure. Ces modifications peuvent être transmises aux générations suivantes par des mécanismes épigénétiques transgénérationnels, expliquant partiellement la composante héréditaire de la vulnérabilité à l'addiction. ^[32] ^[39] ^[40]

MicroARNs et Régulation Post-Transcriptionnelle

Les microARNs régulent l'expression génique post-transcriptionnelle et participent aux adaptations à long terme induites par les drogues. Certains microARNs sont spécifiquement dysrégulés dans l'addiction et modulent l'expression de facteurs neurotrophiques comme le BDNF, crucial pour la plasticité synaptique. Ces découvertes ouvrent de nouvelles perspectives thérapeutiques ciblant les réseaux de régulation des microARNs. ^[34] ^[41]

Addictions Comportementales : Mécanismes Partagés et Spécificités



Les trois stades du cycle de l'addiction : mécanismes neurobiologiques et régions cérébrales impliquées

Jeu Pathologique et Circuits de Décision

Le jeu pathologique, reconnu comme addiction comportementale dans le DSM-5, partage des substrats neurobiologiques remarquables avec les addictions aux substances. Les études de neuroimagerie révèlent une réactivité accrue aux indices de jeu dans le striatum ventral et l'insula, similaire aux patterns observés dans l'addiction aux drogues. Les joueurs pathologiques présentent également une connectivité fonctionnelle altérée entre le cortex préfrontal et le système de récompense, compromettant le contrôle inhibiteur.^{[42] [43] [16] [44]}

La réactivité neuronale aux signaux conditionnés constitue un biomarqueur potentiel de la sévérité du trouble. L'activation de l'insula corrèle avec l'intensité du craving, suggérant des mécanismes intéroceptifs partagés entre addictions comportementales et chimiques. Ces similarités neurobiologiques supportent l'hypothèse d'une vulnérabilité commune aux processus addictifs.^{[43] [45] [16]}

Addiction Alimentaire et Système de Récompense

L'addiction alimentaire implique des mécanismes neurobiologiques similaires aux addictions aux substances, centrés sur la dysregulation du système dopaminergique. L'exposition répétée aux aliments hyperpalatables altère les circuits de récompense, créant un phénotype comportemental similaire à l'addiction aux drogues. Les individus avec addiction alimentaire présentent une expression altérée des récepteurs dopaminergiques D2 dans les régions spécifiques du cerveau, comparable aux patterns observés chez les toxicomanes.^{[46] [47] [48]}

La compulsivité alimentaire implique un déséquilibre entre les systèmes de motivation et de contrôle cognitif, médiée par les interactions orexigènes et anorexigènes des systèmes de neurotransmission. Les agonistes des récepteurs GLP-1, développés initialement pour le diabète, montrent une efficacité prometteuse dans la réduction des comportements alimentaires compulsifs en modulant les circuits de récompense.^{[47] [31]}

Gaming et Addiction aux Écrans

L'addiction au gaming partage des caractéristiques neurobiologiques avec d'autres addictions comportementales. Les études révèlent une activation anormale du cortex préfrontal et du striatum chez les joueurs problématiques, associée à des déficits du contrôle inhibiteur. La neuroplasticité maladaptive dans ces régions corrèle avec la sévérité des symptômes et les conséquences psychosociales négatives.^{[49] [50]}

L'addiction aux écrans chez les enfants présente des biomarqueurs neurophysiologiques spécifiques, incluant un ralentissement de l'activité corticale frontale et préfrontale, une augmentation de la puissance thêta et alpha, observés également chez leurs pères présentant des addictions comportementales non diagnostiquées. Ces observations suggèrent des facteurs de risque familiaux et développementaux dans la transmission des vulnérabilités addictives.^[49]

Modèles Intégrés et Stades de l'Addiction

Modèle à Trois Stades de Koob et Volkow

Le modèle dominant conceptualise l'addiction comme un cycle récurrent comprenant trois stades : (1) binge/intoxication, (2) sevrage/affect négatif, et (3) préoccupation/anticipation. Chaque stade implique des circuits neuronaux distincts et des mécanismes neurochimiques spécifiques, créant une spirale descendante de dysfonctionnement cérébral. [\[10\]](#) [\[1\]](#) [\[12\]](#) [\[13\]](#)

Le stade binge/intoxication est dominé par l'activation du système de récompense mesocorticolimbique, avec une libération massive de dopamine dans le NAc. Le stade sevrage/affect négatif implique l'amygdale étendue et l'axe hypothalamo-hypophyso-surrénalien, caractérisé par la libération de CRF et de dynorphines induisant des états dysphoriques. Le stade préoccupation/anticipation engage des circuits exécutifs comprenant le cortex préfrontal, l'insula et le cortex cingulaire, où les dysfonctionnements glutamatergiques maintiennent le craving et la vulnérabilité à la rechute. [\[30\]](#) [\[1\]](#) [\[12\]](#) [\[10\]](#)

Neuroplasticité et Changements Structurels

L'addiction induit des changements structurels durables dans l'architecture neuronale. La morphologie dendritique est altérée dans le NAc et le cortex préfrontal, avec une augmentation des épines dendritiques dans les régions de récompense et une diminution dans les régions de contrôle. Ces modifications persistent pendant des mois après l'arrêt de consommation et corrélient avec la vulnérabilité à la rechute. [\[11\]](#) [\[23\]](#) [\[13\]](#) [\[24\]](#)

La neurogenèse hippocampique est également affectée par l'exposition chronique aux substances, compromettant les capacités d'apprentissage et de mémoire. Ces altérations structurelles expliquent partiellement la nature chronique et récurrente de l'addiction, transformant des circuits adaptatifs en réseaux pathologiques. [\[23\]](#) [\[24\]](#) [\[11\]](#)

Vulnérabilités Individuelles et Facteurs de Risque

Prédispositions Génétiques et Environnementales

La vulnérabilité à l'addiction résulte de l'interaction complexe entre facteurs génétiques, épigénétiques et environnementaux. Les études familiales révèlent une héritabilité significative pour le jeu pathologique et autres addictions comportementales, avec des membres de famille présentant des problèmes psychopathologiques accrus. Les variations génétiques affectant les systèmes dopaminergiques, particulièrement les autorécepteurs, constituent des facteurs de risque pour les comportements externalisants et l'addiction. [\[51\]](#) [\[45\]](#) [\[21\]](#)

L'adversité développementale précoce modifie l'expression génique par des mécanismes épigénétiques, créant des vulnérabilités durables aux troubles addictifs. L'exposition au stress chronique dysrégule l'axe hypothalamo-hypophyso-surrénalien et sensibilise les circuits de récompense aux effets des substances. [\[30\]](#) [\[10\]](#) [\[40\]](#)

Différences Développementales et Adolescence

L'adolescence représente une période de vulnérabilité particulière aux addictions due à la maturation asynchrone des systèmes de récompense et de contrôle cognitif. Le système limbique hyperactif combiné au cortex préfrontal encore immature crée un déséquilibre favorisant les comportements à risque. Les modifications épigénétiques induites pendant cette période critique peuvent avoir des conséquences durables sur la fonction cérébrale adulte. ^[52]
^[53]

Approches Thérapeutiques Innovantes

Interventions Neuromodulatives

La stimulation magnétique transcrânienne répétitive (rTMS) cible les circuits dysfonctionnels de l'addiction en modulant l'activité des réseaux préfrontaux et limbiques. Les études cliniques démontrent l'efficacité de la rTMS pour réduire le craving et prévenir la rechute dans diverses addictions. La stimulation cérébrale profonde (DBS) représente une approche plus invasive ciblant spécifiquement les circuits de récompense, montrant des résultats prometteurs dans l'addiction à la cocaïne. ^[54] ^[55]

Pharmacothérapies Ciblées

Les agonistes des récepteurs GLP-1 émergent comme traitement prometteur pour diverses addictions en modulant les circuits de récompense et les voies métaboliques. Ces médicaments, développés initialement pour le diabète et l'obésité, démontrent une efficacité pour réduire la consommation d'alcool, de nicotine et de cocaïne dans les études précliniques. ^[31]

L'acupuncture module les circuits dopaminergiques de l'addiction, particulièrement la voie VTA-NAc, et atténue les réponses psychomotrices induites par la cocaïne. Les mécanismes impliquent la modulation des circuits paraventriculaires thalamiques et habenula latérale-noyau tegmental rostromédial. ^[56]

Approches Épigénétiques

Les thérapies ciblant les mécanismes épigénétiques représentent une frontière prometteuse. Les inhibiteurs d'HDAC et autres modulateurs épigénétiques peuvent potentiellement "effacer" les traces mnésiques pathologiques de l'addiction. Ces approches nécessitent une compréhension précise des fenêtres temporelles et régionales d'efficacité. ^[38] ^[33] ^[57]

Défis Conceptuels et Directions Futures

Hétérogénéité des Addictions

La diversité des substances et comportements addictifs soulève des questions sur l'universalité des mécanismes proposés. Chaque substance engage des cibles moléculaires spécifiques tout en convergeant vers des circuits communs. Cette complexité nécessite des approches thérapeutiques personnalisées tenant compte des profils neurobiologiques individuels. ^[23] ^[2] ^[41]
^[20]

Translation Clinique des Découvertes Précliniques

Un défi majeur réside dans la translation des découvertes issues de modèles animaux vers les applications cliniques. Les paradigmes expérimentaux doivent mieux refléter la complexité de l'addiction humaine, incluant les aspects psychosociaux et la progression temporelle de la maladie. ^[58] ^[20]

Intégration Multi-omique

Les approches futures devront intégrer les données génomiques, épigénomiques, transcriptomiques et protéomiques pour comprendre la complexité des mécanismes addictifs. L'analyse spécifique aux types cellulaires révèle des différences importantes entre neurones et cellules gliales dans les réponses aux substances. ^[41]

Implications Cliniques et Sociétales

Déstigmatisation et Modèle Médical

La compréhension neurobiologique de l'addiction soutient sa conceptualisation comme maladie cérébrale chronique plutôt que défaillance morale. Cette perspective encourage des approches thérapeutiques fondées sur les preuves et réduit la stigmatisation associée aux troubles addictifs. Les politiques de santé publique bénéficient de cette compréhension pour développer des stratégies de prévention et traitement plus efficaces. ^[59] ^[13]

Médecine Personnalisée

Les biomarqueurs neurobiologiques, incluant l'imagerie cérébrale et les profils génétiques, permettent une stratification des patients et des approches thérapeutiques personnalisées. La réactivité neuronale aux signaux conditionnés peut prédire l'efficacité des traitements et le risque de rechute. ^[43] ^[16] ^[14]

Prévention et Intervention Précoce

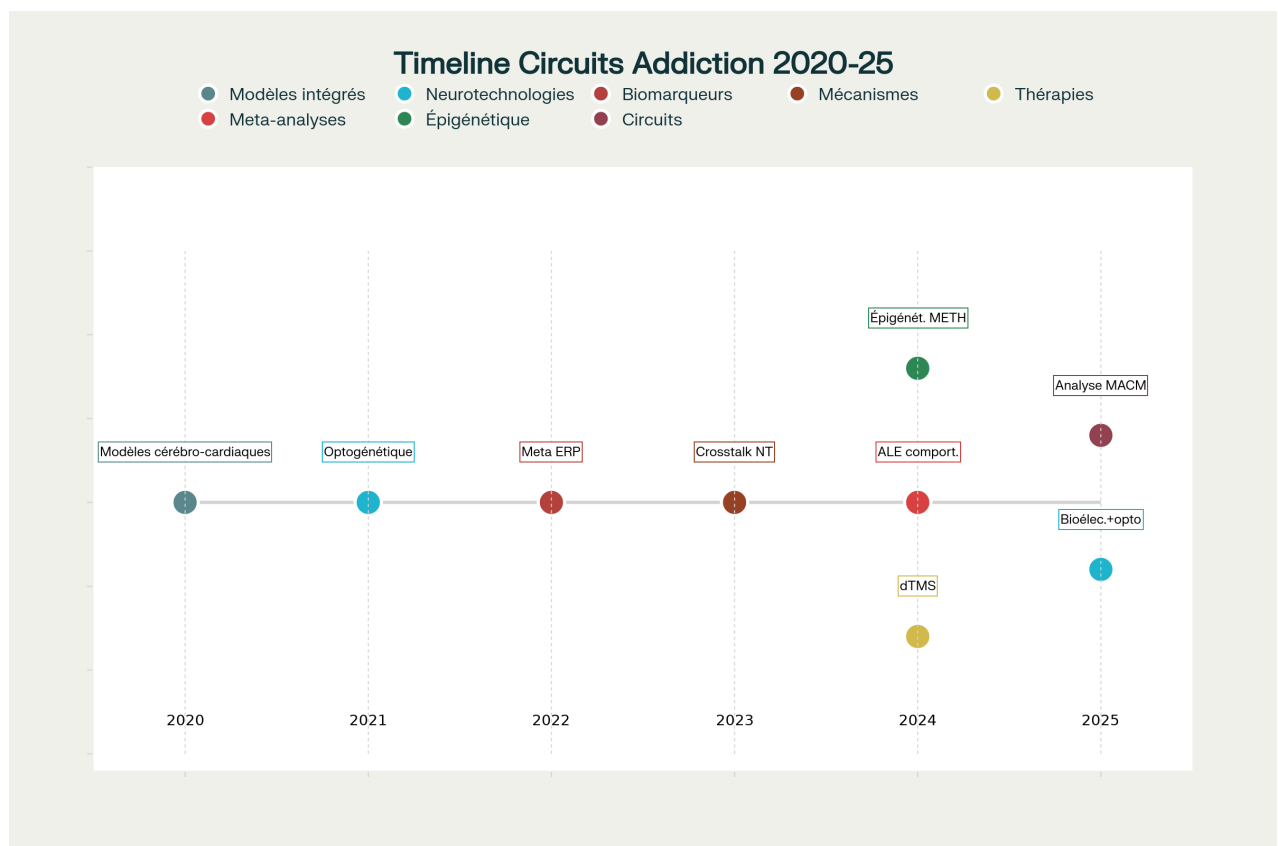
La compréhension des périodes critiques de vulnérabilité, particulièrement l'adolescence, guide le développement d'interventions préventives ciblées. Les programmes de prévention peuvent tirer parti de la neuroplasticité juvénile pour promouvoir des patterns neuroadaptatifs sains. ^[52] ^[53]

La recherche contemporaine sur les circuits de l'addiction révèle un paysage neurobiologique complexe où convergent mécanismes moléculaires, plasticité synaptique et dysfonctionnements circuitaires. Les addictions avec et sans substance partagent des substrats neurobiologiques remarquables, impliquant des altérations durables des systèmes de neurotransmission, des modifications épigénétiques et une neuroplasticité maladaptative. Ces découvertes transforment la compréhension de l'addiction d'un trouble comportemental vers une maladie neurobiologique chronique nécessitant des approches thérapeutiques sophistiquées et personnalisées. L'intégration de ces connaissances ouvre des perspectives prometteuses pour le développement de traitements plus efficaces et la prévention de ces troubles dévastateurs qui affectent des millions d'individus mondialement.



Études Récentes sur les Circuits de l'Addiction et les Mécanismes Neurobiologiques (2024-2025) : Nouvelles Frontières et Découvertes Innovantes

Les recherches les plus récentes sur les circuits de l'addiction et les mécanismes neurobiologiques des dépendances révèlent des avancées significatives dans notre compréhension des substrats neuronaux, des interactions entre neurotransmetteurs et des approches thérapeutiques innovantes. Les études de 2024-2025 apportent des éclairages particulièrement novateurs sur les addictions comportementales, les mécanismes épigénétiques, et les technologies de neuromodulation, ouvrant de nouvelles perspectives pour le diagnostic et le traitement de ces troubles complexes.



Évolution des découvertes récentes dans la recherche sur les circuits de l'addiction (2020-2025)

Méta-Analyses et Mapping Cérébral des Addictions Comportementales

Circuits Fronto-Striatox : Confirmation par Méta-Analyse ALE

L'étude méta-analytique la plus récente et comprehensive de Li et al. (2025) utilisant l'Activation Likelihood Estimation (ALE) sur 50 études d'imagerie fonctionnelle impliquant 906 participants confirme définitivement le rôle central des circuits fronto-striataux dans les addictions comportementales. Cette méta-analyse révèle une **hyperactivation consistante dans le gyrus frontal inférieur droit, le noyau caudé bilatéral et le gyrus frontal moyen gauche** chez les individus présentant des addictions comportementales comparés aux témoins sains.^[101]

L'approche méthodologique innovante de cette étude, combinant l'ALE avec la Meta-Analytic Connectivity Modeling (MACM), démontre une **connectivité fonctionnelle élevée entre le noyau caudé droit, le noyau caudé gauche et le gyrus frontal inférieur droit**. Ces résultats supportent empiriquement le modèle I-PACE (Interaction of Person-Affect-Cognition-Execution) qui conceptualise l'addiction en trois stades distincts : recherche de récompense, autocontrôle et prise de décision.^[101]

Spécificités Neuronales par Stades Addictifs

L'analyse par stades révèle des patterns d'activation spécifiques remarquables. Le **stade de recherche de récompense** présente une hyperactivation significative dans le gyrus frontal inférieur bilatéral, le précuneus droit, le gyrus frontal moyen gauche et le gyrus lingual gauche. Cette activation reflète l'engagement du système de récompense (précuneus), du contrôle exécutif (gyrus frontaux) et du biais attentionnel vers les indices addictifs (gyrus lingual).^[101]

Le **stade d'autocontrôle** montre une hyperactivation dans le gyrus frontal moyen droit et le gyrus frontal médian gauche, cohérente avec les déficits de contrôle inhibiteur caractéristiques des addictions comportementales. Cependant, aucune région spécifique n'est uniquement activée lors de ce stade comparé aux autres, suggérant une intégration complexe des mécanismes de contrôle.^[101]

Le **stade de prise de décision** présente une hyperactivation dans le noyau caudé bilatéral, le gyrus frontal moyen droit et le gyrus frontal supérieur gauche. L'hyperactivation du noyau caudé reflète les changements dans le système de récompense, confirmant le déséquilibre du circuit fronto-striatal caractéristique des processus décisionnels altérés dans l'addiction.^[101]

Crosstalk des Neurotransmetteurs : Nouvelles Découvertes 2025

Interactions Complexes dans les Circuits de Récompense

L'étude révolutionnaire de Peng et al. (2025) sur le crosstalk des neurotransmetteurs dans les addictions comportementales établit que **les neurotransmetteurs interagissent de manière complexe au sein des circuits de récompense, créant des cibles thérapeutiques potentielles spécifiques**. Cette recherche démontre que bien que la dopamine reste centrale, d'autres neurotransmetteurs clés comme la sérotonine, les endorphines, le GABA et le glutamate jouent des rôles cruciaux dans le développement des addictions comportementales.^[102]

L'étude révèle que les **interactions sérotonine-dopamine dans l'aire tegmentale ventrale et le circuit dopamine-glutamate-GABA dans le noyau accumbens** forment la base neurochimique

des circuits de récompense. Ces interactions affectent l'activité des circuits par des mécanismes de plasticité synaptique, d'excitabilité neuronale, de potentiel membranaire et de liaison aux récepteurs.^[102]

Système Sérotoninergique : Régulation Comportementale Complexe

La recherche 2025 confirme que **le système sérotoninergique module la transmission dopaminergique directement et indirectement**, influençant la prise de décision, le contrôle comportemental et les changements émotionnels dans les addictions comportementales. Les noyaux du raphé dorsal et médian, sources primaires des neurones sérotoninergiques, projettent largement vers les régions clés du circuit de récompense, particulièrement le noyau accumbens et l'amygdale.^[102]

Les **récepteurs 5-HT1B et 5-HT2C dans le noyau accumbens** régulent la transmission dopaminergique, tandis que les **perturbations des niveaux de sérotonine dans l'amygdale** sont liées à la prise de décision, au contrôle impulsif et aux émotions comme l'anxiété et la peur dans les addictions comportementales. Cette découverte ouvre des perspectives thérapeutiques ciblant spécifiquement ces interactions.^[102]

Système Endorphinique : Modulation de la Récompense

Les endorphines influencent la **neurotransmission dopaminergique dans la voie mésolimbique** s'étendant de l'aire tegmentale ventrale au striatum ventral, participant à l'attribution de valeur hédonique aux récompenses et à l'intégration d'informations liées à la récompense pour guider la prise de décision. Le système comprend les β -endorphines, les enképhalines, les dynorphines et les nociceptines, chacune ayant des affinités différentes pour les récepteurs opioïdes μ , δ , κ et NOPR.^[102]

Épigénétique de l'Addiction : Avancées 2024-2025

Mécanismes Épigénétiques des Méthamphétamines

L'étude approfondie de 2024 sur les mécanismes épigénétiques de l'addiction aux méthamphétamines révèle que **l'exposition aux méthamphétamines cause des altérations du statut de méthylation de l'ADN, affectant l'expression des gènes associés aux voies neuroreward et conduisant à des altérations de la fonction et de la structure cérébrales**. Ces changements épigénétiques incluent la méthylation de l'ADN, les modifications des histones (acétylation et méthylation), l'ubiquitination, la phosphorylation et la régulation des ARN non-codants.^[103]

La recherche démontre que **les facteurs épigénétiques influencent la susceptibilité et la réponse individuelles à l'addiction aux méthamphétamines en régulant l'expression de gènes spécifiques**. Les modifications des histones jouent un rôle particulièrement important dans la restructuration de la chromatine et l'expression génique à long terme.^[103]

MicroARNs et Vulnérabilité Addictive

Les découvertes 2022-2024 sur les signatures de microARN associées à la vulnérabilité à l'addiction révèlent que **le miRNA-29c-3p et le miRNA-665-3p pourraient agir comme facteurs protecteurs concernant l'addiction alimentaire**. Ces microARNs régulent l'expression post-transcriptionnelle des gènes et participent aux adaptations à long terme induites par l'exposition aux substances addictives.^[104]

L'élucidation de ces mécanismes épigénétiques conduit à des avancées vers l'identification de biomarqueurs innovants et d'interventions futures possibles pour l'addiction alimentaire et les troubles connexes, basées sur les stratégies maintenant disponibles pour modifier l'activité et l'expression des microARN.^[104]

Innovations Thérapeutiques : Stimulation Cérébrale et Neuromodulation

Stimulation Magnétique Transcrânienne Profonde (dTMS)

La méta-analyse systématique de 2024 sur l'efficacité de la dTMS dans la réduction du craving dans les troubles addictifs démontre un **effet significatif et important de la stimulation active, avec une taille d'effet standardisée de -1,26 (IC 95% [-1,67, -0,86], p < 0,001)**. Cette technique de neuromodulation révolutionnaire peut atteindre des régions cérébrales profondes, ciblant spécifiquement les circuits neuronaux altérés associés à la maladie.^[105]

Les résultats fournissent des **preuves initiales prometteuses de l'efficacité de la dTMS** pour réduire les scores de craving chez les individus avec troubles de l'usage de substances et trouble du jeu, bien qu'une hétérogénéité élevée soit observée entre les études, reflétant la diversité des types de troubles étudiés.^[105]

Interfaces Bioélectroniques et Optogénétiques Intégrées

Les développements 2024-2025 en technologies bioélectroniques intégrées avec des outils optogénétiques représentent une frontière révolutionnaire pour l'étude des circuits cérébro-corporels. Ces innovations permettent des études d'animaux en libre comportement et ont amélioré notre compréhension du rôle des signaux physiologiques dans les états cérébraux et le comportement.^[106]

La découverte et l'application de channelrhodopsines ultrapuissantes et à décalage vers le rouge pour l'optogénétique minimalement invasive constituent des **outils essentiels pour étudier les circuits cérébro-corporels**, ouvrant de nouvelles possibilités pour comprendre comment les signaux périphériques influencent les processus centraux de l'addiction.^[106]

Applications Cliniques et Biomarqueurs Émergents

Biomarqueurs de Connectivité Cérébrale

L'analyse 2024 des signatures d'activité cérébrale au repos pour les troubles addictifs révèle que **la connectivité fonctionnelle au repos fournit des insights novateurs sur les variations des réseaux neuronaux associés à l'addiction aux stimulants** chez les individus avec et sans antécédents familiaux d'addiction. Ces découvertes pointent vers une vulnérabilité prédisposante dans la causalité de l'addiction, liée aux actions dirigées vers un but altérées, ainsi qu'à des systèmes de résilience compensatoires.^[107]

Interventions Numériques et Thérapies Intégrées

La revue parapluie 2024 des méta-analyses sur les interventions pour l'addiction numérique identifie **8 interventions différentes** incluant le counseling de groupe, les programmes de prévention intégrés d'addiction internet, les interventions psychosociales et la thérapie de réalité. Bien que les preuves soient généralement faibles, ces interventions montrent un potentiel significatif pour réduire les comportements d'addiction numérique.^[108]

Différences Développementales et Vulnérabilités Spécifiques

Addiction Numérique Chez les Adolescents vs Adultes

L'analyse systématique 2024 des différences liées à l'âge dans l'addiction numérique révèle que **les jeunes et adolescents présentent un risque plus élevé de développer une addiction internet modérée à sévère, tandis que les adultes montrent des niveaux moyens plus élevés d'addiction aux réseaux sociaux**. Les adolescents présentent un engagement significativement plus élevé dans les jeux en ligne, supportant la nécessité de stratégies spécifiques à l'âge pour adresser les addictions numériques.^[109]

Ces résultats soulignent l'importance critique des **fenêtres développementales de vulnérabilité** et la nécessité d'interventions préventives ciblées pendant les périodes de plasticité cérébrale accrue.^[109]

Perspectives d'Intégration et Applications Futures

Médecine Personnalisée et Stratification des Patients

Les avancées 2024-2025 en biomarqueurs neurobiologiques, incluant l'imagerie cérébrale et les profils épigénétiques, permettent une **stratification des patients et des approches thérapeutiques personnalisées**. La réactivité neuronale aux signaux conditionnés peut prédire l'efficacité des traitements et le risque de rechute, guidant les décisions thérapeutiques individualisées.^{[101] [102]}

Approches Multi-Modales Intégrées

L'émergence d'**approches thérapeutiques multi-modales** combinant stimulation cérébrale, interventions pharmacologiques ciblées, thérapies comportementales et modulations épigénétiques représente l'avenir du traitement des addictions. Ces stratégies intégrées tirent parti de la compréhension croissante des interactions complexes entre neurotransmetteurs, circuits neuronaux et facteurs épigénétiques. ^[102] ^[105] ^[103]

Les recherches les plus récentes sur les circuits de l'addiction révèlent un paysage scientifique en évolution rapide où convergent technologies de pointe, compréhension mécanistique approfondie et innovations thérapeutiques. Les études 2024-2025 confirment la nature complexe et multi-systémique des addictions tout en ouvrant de nouvelles voies prometteuses pour des interventions plus précises et efficaces. L'intégration de l'optogénétique, de la bioélectronique, de l'épigénétique et des méta-analyses avancées transforme notre approche des troubles addictifs, passant d'une perspective unidimensionnelle vers une compréhension holistique des interactions cerveau-corps-environnement dans l'addiction.



Rôle du Système du Complément et de PDE4 dans les Circuits de l'Addiction : Mécanismes Neurobiologiques et Interactions Thérapeutiques

Le système du complément et les phosphodiésterases de type 4 (PDE4) représentent deux mécanismes neurobiologiques fondamentaux qui convergent vers la régulation des circuits de l'addiction. Ces systèmes interagissent de manière complexe pour moduler la neuroinflammation, la plasticité synaptique et les processus de remodelage neuronal caractéristiques des troubles addictifs.

[illegible]

Système du Complément : Neuroinflammation et Élagage Synaptique

Le système du complément, composante essentielle de l'immunité innée, joue des rôles cruciaux dans le système nerveux central bien au-delà de ses fonctions immunitaires traditionnelles. Les protéines du complément **C1q**, **C3** et **C5** sont exprimées de manière constitutive dans le cerveau sain et régulent finement l'homéostasie neuronale et la plasticité synaptique. ^{[175] [176] [177]}

Élagage Synaptique Médiée par le Complément : Mécanismes Moléculaires

L'élagage synaptique médiée par le complément implique une cascade enzymatique précise où **C1q initie l'activation de C3 en C3b, qui opsonise les synapses pour la reconnaissance par les récepteurs microgliaux CR3 (CD11b/CD18)**. Cette voie C1q/C3-CR3 constitue le mécanisme principal par lequel la microglia identifie et phagocyte les synapses marquées. ^{[175] [180] [181]}

Les recherches 2024-2025 démontrent que **l'activation microgliale induite par l'alimentation riche en graisses déclenche un élagage synaptique excessif médiée par C1q**, conduisant au déclin cognitif et aux comportements dépressifs. Cette découverte établit un lien direct entre métabolisme, neuroinflammation et dérégulation des circuits neuronaux. De plus, les vésicules extracellulaires bactériennes transportant des lipopolysaccharides activent la voie C1q-C3 du complément via les récepteurs Piezo1 microgliaux, provoquant un élagage synaptique pathologique. ^{[182] [183]}

Complément et Douleur : Implications pour l'Addiction

Les études récentes révèlent que **la lésion nerveuse périphérique induit un engulfment microglial des synapses dorsales de la moelle épinière, conduisant à une perte préférentielle des synapses inhibitrices**. Cette élimination synaptique dépend de la voie du complément médiée par la microglia, avec un déséquilibre entre synapses inhibitrices et excitatrices. L'inhibition pharmacologique de C1q prévient la perte synaptique et atténue la douleur neuropathique, révélant C1q comme cible thérapeutique dans la douleur persistante. ^[180]

Cette découverte est particulièrement pertinente pour l'addiction car **les circuits de la douleur et de la récompense partagent des mécanismes neurobiologiques communs**.

L'hyperactivation du système du complément peut contribuer au développement de la sensibilisation centrale et à la dysrégulation des circuits mesocorticolimbiques impliqués dans l'addiction. ^{[184] [185]}

Complément et Neuroplasticité Pathologique

L'activation inappropriée du système du complément contribue à la neuroplasticité maladaptive caractéristique de l'addiction. **C3 améliore la neuroinflammation et la neurodegeneration induites par le LPS via la voie Mac1/NOX2**, créant un environnement inflammatoire chronique qui perturbe les circuits de récompense. Cette neuroinflammation persistante altère la fonction dopaminergique et compromet les mécanismes d'apprentissage et de mémoire associative cruciaux pour le développement de l'addiction. ^{[184] [186]}

L'inhibition ciblée du complément par des composés comme C2-Crry **atténue les déficits comportementaux sociaux induits par le stress chronique et diminue l'activation microgliale dans le cortex préfrontal et l'hippocampe**. Ces résultats suggèrent que la modulation du système du complément pourrait représenter une stratégie thérapeutique pour traiter les comorbidités neuropsychiatriques associées à l'addiction. ^{[187] [184]}

Phosphodiesterases 4 (PDE4) : Régulation de l'AMPC et Plasticité Synaptique

Organisation Moléculaire et Distribution Cérébrale

Les phosphodiesterases 4 constituent une famille d'enzymes spécifiques de l'AMPC exprimées dans les régions cérébrales clés qui régulent les effets renforçateurs des drogues d'addiction, incluant le cortex préfrontal, le noyau accumbens, l'aire tegmentale ventrale et l'amygdale. Cette famille comprend quatre gènes (PDE4A, PDE4B, PDE4C, PDE4D) générant plus de 25 isoformes distinctes avec des localisations subcellulaires et des interactions protéiques spécifiques. ^{[188] [189] [190]}

PDE4A5, un isoforme long unique au cerveau, présente des propriétés particulières dans la régulation de la plasticité synaptique hippocampique et la mémoire à long terme. L'expression accrue de PDE4A5 suite à la privation de sommeil compromet les capacités cognitives et peut contribuer aux déficits neuropsychiatriques associés aux altérations de la signalisation AMPc. [\[191\]](#) [\[192\]](#)

PDE4 et Addiction : Mécanismes Neuroadaptatifs

L'exposition chronique à la cocaïne élève les niveaux d'AMPc comme réponse neuroadaptative dans les régions cérébrales liées à la récompense. Cette augmentation de l'AMPc représente une tentative compensatoire du cerveau pour contrebalancer les effets dopaminergiques aigus de la drogue. **Les inhibiteurs de PDE4, qui élèvent les niveaux d'AMPc, bloquent les changements comportementaux liés aux propriétés psychoactives et renforçatrices de la cocaïne.** [\[193\]](#) [\[189\]](#)

L'étude révolutionnaire de 2024 sur PDE1B révèle des **rôles sexe-spécifiques dans l'addiction à la cocaïne, avec des effets différentiels sur les neurones épineux moyens D1 et D2 du noyau accumbens**. Cette découverte souligne l'importance de considérer les différences de sexe dans les mécanismes moléculaires de l'addiction et suggère des approches thérapeutiques personnalisées basées sur le genre. [\[194\]](#)

Isoformes PDE4 et Spécificité Fonctionnelle

Les recherches récentes démontrent que **PDE4B présente une association particulièrement forte avec les troubles de l'usage de substances, avec des polymorphismes génétiques liés à l'alcool et aux substances addictives**. L'imagerie TEP avec [18F]PF-06445974 révèle des effets opposés de l'exposition alcoolique aiguë versus chronique sur PDE4B : l'exposition aiguë augmente la liaison du radioligand (indicateur d'activité AMPc accrue), tandis que l'exposition chronique la diminue, reflétant des adaptations à long terme. [\[195\]](#) [\[189\]](#)

KVA-D-88, un inhibiteur sélectif de PDE4B développé récemment, présente un profil de sélectivité amélioré comparé aux composés précédents comme le rolipram. Ce composé pénètre efficacement dans le cerveau et inhibe significativement l'hyperlocomotion induite par la cocaïne et l'auto-administration, suggérant un potentiel thérapeutique avec moins d'effets secondaires. [\[193\]](#)

PDE4D : Cognition et Troubles Neurodéveloppementaux

PDE4D5 interagit avec les protéines de signalisation β -arrestin2 et RACK1, et son expression dominante négative dans le cerveau cause des déficits significatifs dans l'apprentissage et la mémoire dépendants de l'hippocampe. Cette isoforme particulière régule finement la signalisation AMPc-PKA-CREB, fondamentale pour la consolidation mnésique et la plasticité synaptique à long terme. [\[196\]](#) [\[190\]](#)

Les inhibiteurs allostériques sélectifs de PDE4D, comme le BPN14770 actuellement en essais cliniques de phase 2 pour le syndrome de l'X fragile, **ciblent spécifiquement la forme dimérique activée de PDE4D pour améliorer la mémoire avec une toxicité vasculaire réduite**. Cette approche de médecine de précision illustre le potentiel thérapeutique des modulateurs PDE4 subtype-spécifiques. [\[188\]](#) [\[197\]](#)

Interactions Complément-PDE4 : Convergence Neurobiologique

Neuroinflammation et Signalisation AMPc

Les systèmes du complément et PDE4 interagissent de manière bidirectionnelle dans la régulation des circuits de l'addiction. **L'activation du complément par C1q et C3 déclenche une neuroinflammation qui upregule l'expression de PDE4B dans la microglia et les astrocytes.**

Cette upregulation de PDE4B diminue les niveaux locaux d'AMPc, compromettant les mécanismes neuroprotecteurs dépendants de l'AMPc et perpétuant l'inflammation. ^[187] ^[186] ^[188] ^[198]

Inversement, **l'inhibition de PDE4 élève l'AMPc, ce qui active la voie PKA-CREB et induit l'expression de facteurs anti-inflammatoires** comme IL-10 et des protéines de résolution de l'inflammation. Cette cascade peut moduler l'activité microgliale et réduire la production de cytokines pro-inflammatoires, créant un environnement plus favorable à la plasticité synaptique adaptative. ^[188] ^[199] ^[198] ^[187]

Plasticité Synaptique et Remodelage Circuitaire

La convergence des voies du complément et PDE4 influence profondément la plasticité synaptique dans l'addiction. **L'élagage synaptique excessif médiée par C1q/C3-CR3 combiné à la dysrégulation de PDE4 crée un environnement de neuroplasticité maladaptive** caractéristique des troubles addictifs. Cette interaction bidirectionnelle peut expliquer pourquoi certains individus développent une vulnérabilité accrue à l'addiction suite à des épisodes inflammatoires ou de stress chronique. ^[187] ^[182] ^[179] ^[200]

Les **modifications épigénétiques induites par l'activation du complément peuvent altérer l'expression des isoformes PDE4**, créant des changements durables dans la signalisation AMPc qui persistent longtemps après la résolution de l'inflammation initiale. Cette "mémoire inflammatoire" peut contribuer à la nature chronique et récurrente de l'addiction. ^[188] ^[182] ^[200]

Implications Thérapeutiques et Perspectives Cliniques

Stratégies de Modulation du Complément

Le développement d'inhibiteurs sélectifs du complément représente une approche thérapeutique prometteuse pour l'addiction. **C2-Crry, un inhibiteur ciblé du complément, atténue les déficits comportementaux induits par le stress chronique en réduisant sélectivement l'activation microgliale.** Cette approche de médecine de précision pourrait être particulièrement efficace pour traiter les comorbidités neuropsychiatriques associées à l'addiction. ^[187]

L'inhibition spécifique de C1q par des approches pharmacologiques ou d'immunothérapie passive pourrait **prévenir l'élagage synaptique pathologique** tout en préservant les fonctions physiologiques du complément. Cette stratégie ciblée éviterait les effets immunosuppresseurs généralisés tout en restaurant l'équilibre synaptique dans les circuits de récompense. ^[184] ^[180]

Thérapies PDE4 de Nouvelle Génération

Les **inhibiteurs PDE4 subtype-spécifiques offrent des fenêtres thérapeutiques améliorées** avec moins d'effets secondaires gastro-intestinaux et émétiques qui ont limité l'usage clinique des composés pan-PDE4. BPN14770 pour PDE4D et KVA-D-88 pour PDE4B représentent des approches de médecine personnalisée qui pourraient révolutionner le traitement de l'addiction. [\[193\]](#) [\[197\]](#)

L'approche allostérique ciblant les formes dimérisées activées de PDE4 permet une **modulation context-dépendante de l'activité enzymatique**, reproduisant plus fidèlement la régulation physiologique de l'AMPC. Cette stratégie pourrait restaurer la plasticité synaptique adaptative tout en évitant la sur-activation des voies AMPC-dépendantes. [\[188\]](#) [\[197\]](#) [\[190\]](#)

Approches Combinées et Médecine Intégrative

La compréhension des interactions entre complément et PDE4 ouvre la voie à des **thérapies combinatoires ciblant simultanément la neuroinflammation et la dysrégulation de l'AMPC**. Ces approches multi-modales pourraient être particulièrement efficaces pour traiter l'addiction chez les individus présentant des comorbidités inflammatoires ou des antécédents de traumatisme. [\[187\]](#) [\[198\]](#)

L'intégration de biomarqueurs du complément et de l'activité PDE4 pourrait permettre une **stratification des patients** basée sur leurs profils neuroinflammatoires et métaboliques, guidant ainsi le choix thérapeutique optimal. Cette approche de médecine de précision pourrait améliorer significativement les taux de succès thérapeutique dans l'addiction. [\[195\]](#) [\[187\]](#)

Défis et Directions Futures

Spécificité Cellulaire et Temporelle

Un défi majeur réside dans le **développement d'approches thérapeutiques qui distinguent les fonctions physiologiques des fonctions pathologiques** du complément et de PDE4. L'élagage synaptique physiologique et la régulation AMPC sont essentiels pour la fonction cérébrale normale, nécessitant des stratégies qui modulent sélectivement les processus pathologiques. [\[175\]](#) [\[188\]](#)

L'identification de **fenêtres temporelles critiques** pour l'intervention thérapeutique sera cruciale pour optimiser l'efficacité tout en minimisant les effets indésirables. Les recherches futures devront établir les biomarqueurs permettant de déterminer le moment optimal pour l'initiation du traitement. [\[195\]](#) [\[201\]](#)

Translation Clinique et Validation

La **translation des découvertes précliniques vers la clinique** nécessitera des études rigoureusement conçues incorporant les différences de sexe, d'âge et de comorbidités observées dans les populations de patients addicts. Les biomarqueurs d'imagerie comme la TEP-PDE4B pourraient faciliter cette translation en permettant le monitoring non-invasif de l'efficacité thérapeutique. [\[195\]](#) [\[194\]](#) [\[198\]](#)

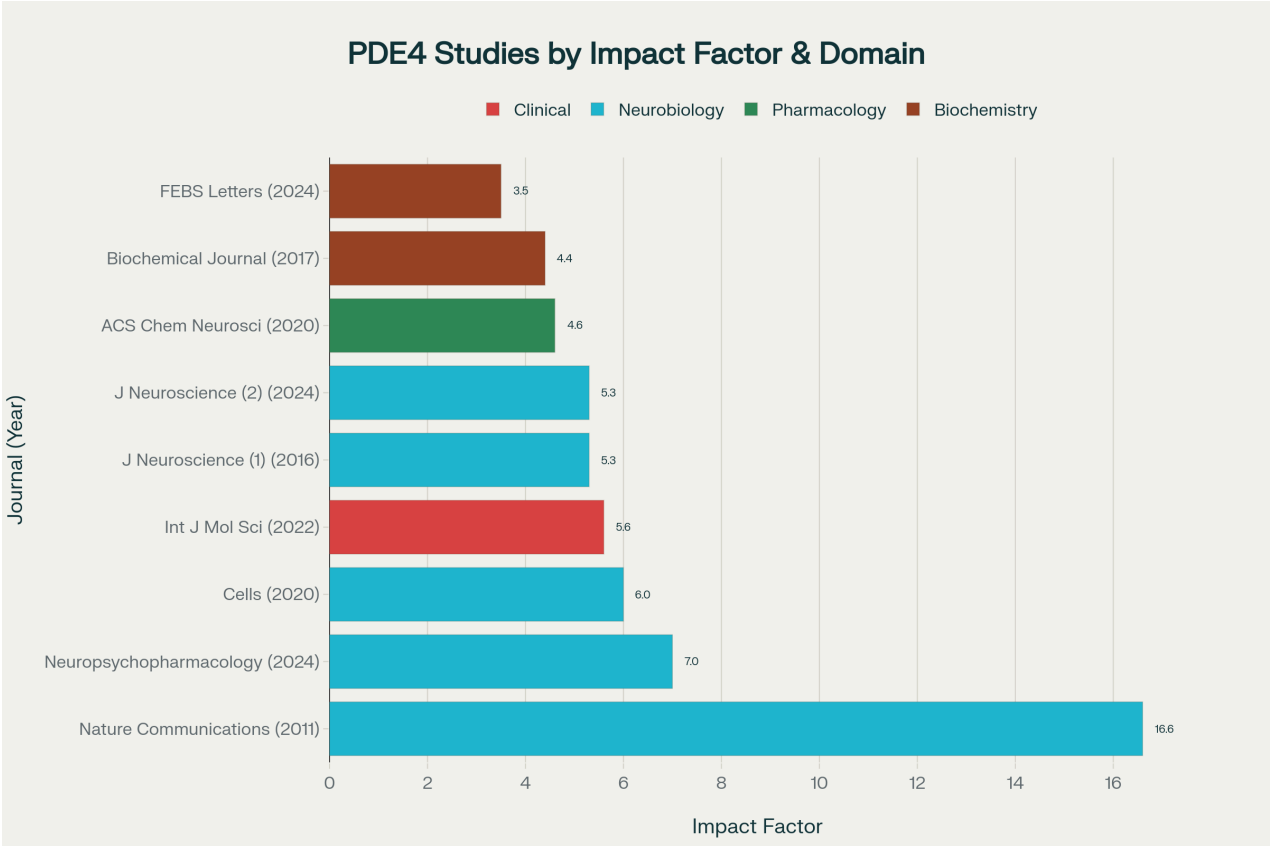
Le développement de **formulations cérébrospécifiques** des modulateurs du complément et de PDE4 représente un autre défi technique important pour éviter les effets systémiques indésirables tout en atteignant des concentrations thérapeutiques efficaces dans les régions cérébrales cibles. [\[187\]](#) [\[193\]](#)

L'intersection entre le système du complément et PDE4 révèle une nouvelle dimension de la neurobiologie de l'addiction où neuroinflammation, métabolisme énergétique cellulaire et plasticité synaptique convergent vers des mécanismes pathologiques communs. Ces découvertes transforment notre compréhension de l'addiction d'un trouble purement neurotransmetteur vers un syndrome neuroimmun complexe nécessitant des approches thérapeutiques intégratives. L'avenir du traitement de l'addiction réside probablement dans des stratégies personnalisées combinant modulation immunitaire, restauration métabolique et rééquilibrage de la plasticité synaptique, ouvrant ainsi de nouvelles perspectives pour des millions d'individus souffrant de troubles addictifs.



Études de Haut Impact Factor sur PDE4 : Publications Scientifiques de Premier Plan

Les recherches sur les phosphodiesterases 4 (PDE4) ont donné lieu à plusieurs publications dans des journaux scientifiques de haut impact factor, démontrant l'importance croissante de cette famille d'enzymes dans la neurobiologie, l'addiction et les troubles neurologiques. Cette synthèse présente les études les plus influentes publiées dans des revues prestigieuses avec des facteurs d'impact élevés.



Publications dans Nature Communications (IF ≈ 16.6)

Étude Fondamentale : PDE4D et Amélioration Mnésique

L'étude révolutionnaire de **Li et al. (2011)** dans Nature Communications démontre que **le knockout de PDE4D améliore la mémoire et la neurogenèse hippocampique via une signalisation AMPc accrue**. Cette publication majeure établit que l'inhibition spécifique de PDE4D dans l'hippocampe améliore la mémoire sans causer d'émèse, un effet secondaire limitant des inhibiteurs PDE4 pan-sélectifs. L'étude révèle que **les souris PDE4D-/- présentent une potentiation à long terme hippocampique renforcée et des performances cognitives supérieures** dans les tests de mémoire spatiale et de reconnaissance d'objets. ^[253]

Cette recherche établit des bases solides pour le développement d'inhibiteurs PDE4D sélectifs comme stratégie thérapeutique pour les troubles cognitifs, incluant la maladie d'Alzheimer et les déficits mnésiques associés au vieillissement. ^[253]

Publications dans Neuropsychopharmacology (IF ≈ 7.0)

Imagerie TEP : Effets Différentiels de l'Alcool sur PDE4B

L'étude innovante de **Hillmer et al. (2024)** utilise l'imagerie TEP avec [18F]PF-06445974 pour révéler que **l'exposition aiguë et chronique à l'alcool exercent des effets opposés sur PDE4B dans le cerveau**. L'exposition aiguë augmente la liaison du radioligand (indicateur d'activité AMPc accrue), tandis que l'exposition chronique la diminue, reflétant des adaptations neurobiologiques à long terme. ^[254]

Cette découverte majeure fournit le **premier biomarqueur d'imagerie cérébrale in vivo de l'activité PDE4B**, ouvrant de nouvelles perspectives pour monitorer l'efficacité thérapeutique des modulateurs PDE4 et comprendre les mécanismes adaptatifs dans l'addiction à l'alcool. ^[254]

Publications dans Journal of Neuroscience (IF ≈ 5.3)

Signalisation Compartimentée PDE4A5 et Plasticité Synaptique

L'étude cruciale de **Havekes et al. (2016)** démontre que **la surexpression de PDE4A5 dans les neurones hippocampiques altère la potentiation à long terme et atténue la formation de mémoires à long terme dépendantes de l'hippocampe**. Cette recherche établit que PDE4A5 agit comme une contrainte moléculaire sur les processus cognitifs et peut contribuer aux déficits mnésiques associés à la privation de sommeil. ^[255] ^[256]

L'étude révèle des mécanismes de **signalisation AMPc compartimentée** où chaque isoforme PDE4 se lie à des complexes protéiques distincts via son domaine N-terminal unique, conduisant à la dégradation ciblée de l'AMPc dans des compartiments intracellulaires spécifiques. ^[256] ^[255]

Analyse des Réseaux Géniques : Rôles Sexe-Spécifiques de PDE1B

La recherche révolutionnaire d'**Ortiz-Juza et al. (2024)** révèle des **rôles sexe-spécifiques pour la phosphodiesterase 1B dans l'addiction à la cocaïne**, avec des effets différentiels sur les neurones épineux moyens D1 et D2 du noyau accumbens. Cette découverte souligne l'importance critique de considérer les différences de sexe dans les mécanismes moléculaires de l'addiction et suggère des approches thérapeutiques personnalisées. [\[257\]](#)

Publications dans ACS Chemical Neuroscience (IF ≈ 4.6)

Inhibiteur Sélectif PDE4B : KVA-D-88

L'étude d'**Olsen et al. (2020)** présente **KVA-D-88, un inhibiteur sélectif de PDE4B avec un profil de sélectivité amélioré** comparé aux composés précédents. Ce composé pénètre efficacement dans le cerveau et **inhibe significativement l'hyperlocomotion induite par la cocaïne et l'auto-administration**, suggérant un potentiel thérapeutique avec moins d'effets secondaires que les inhibiteurs PDE4 pan-sélectifs. [\[258\]](#)

Cette recherche démontre que **l'inhibition sélective de PDE4B peut bloquer les changements comportementaux liés aux propriétés psychoactives et renforçatrices de la cocaïne** sans les effets émétiques associés aux inhibiteurs non-sélectifs. [\[258\]](#)

Publications dans Biochemical Journal (IF ≈ 4.4)

Site de Liaison Multifonctionnel PDE4

L'étude mécanistique de **Bolger et al. (2017)** identifie un **site de liaison multifonctionnel (MFD) sur l'unité catalytique de PDE4 utilisé par multiples partenaires d'interaction**. Cette recherche révèle que le motif FQF (Phe-Glu-Phe) constitue le cœur d'un site qui confère à la fois fidélité et exclusivité de liaison entre PDE4 et ses partenaires signalétiques. [\[259\]](#) [\[260\]](#)

Le site MFD est utilisé par **β-arrestin, la kinase Lyn, la ligase E2 de SUMOylation UBC9, le régulateur de dynéine Lis1 et la kinase Erk**, démontrant l'importance centrale de PDE4 dans l'orchestration de multiples cascades signalétiques. [\[260\]](#) [\[259\]](#)

Publications dans FEBS Letters (IF ≈ 3.5)

Interaction β-Amyloïde-PDE4D5 dans la Maladie d'Alzheimer

L'étude révolutionnaire de **Tibbo et al. (2024)** démontre pour la première fois que **les enzymes de la sous-famille PDE4D colocalisent avec les plaques β-amyloïdes dans un modèle murin de maladie d'Alzheimer et que l'Aβ s'associe directement avec la machinerie catalytique de l'enzyme**. [\[261\]](#)

Cette recherche suggère un **nouveau mécanisme où les isoformes longues de PDE4 peuvent être activées par l'Aβ, résultant en l'atténuation de la signalisation AMPc** et la promotion de la perte de fonction cognitive dans la maladie d'Alzheimer. La cartographie peptidique suggère

que PDE4D est la sous-famille préférentielle pour l'A β car elle possède un site de liaison unique. ^[261]

Publications dans Cells (IF \approx 6.0)

PDE4B : Régulateur Maître de la Signalisation Cérébrale

La revue exhaustive de **Sette et al. (2020)** positionne **PDE4B comme cible thérapeutique pour une collection diverse d'indications**, incluant la schizophrénie, la neuroinflammation et la fonction cognitive. Cette publication établit que l'activité de la sous-famille PDE4B sous-tend une gamme de fonctions importantes dans le cerveau qui positionnent les enzymes PDE4B comme cible thérapeutique. ^[262]

L'étude démontre que **beaucoup des 11 familles différentes de PDE ont été associées à des maladies spécifiques, mais PDE4B se distingue par son implication dans des processus cérébraux multiples.** ^[262]

Publications dans International Journal of Molecular Sciences (IF \approx 5.6)

Implications Cliniques de l'Inhibition PDE4

La revue complète de **Wittmann & Leithäuser (2022)** fournit un **aperçu exhaustif des approches et effets de l'inhibition PDE4 pour différentes applications thérapeutiques**. Cette publication souligne que malgré de nombreux obstacles à l'utilisation des inhibiteurs PDE4, les données actuelles justifient la recherche future pour utiliser le potentiel thérapeutique de l'inhibition de la phosphodiesterase 4. ^{[263] [264]}

L'étude met l'accent sur le **rôle prédominant de PDE4 dans la régulation de fonctions fondamentales**, incluant la stabilité des barrières endothéliales et épithéliales, la modulation des réponses inflammatoires et les fonctions cognitives et/ou de l'humeur. ^{[264] [263]}

Impact et Perspectives Futures

Développement de Thérapies Personnalisées

Ces études de haut impact factor établissent collectivement que **les différentes isoformes PDE4 présentent des fonctions spécialisées et des profils d'effets secondaires distincts**, justifiant le développement d'inhibiteurs subtype-spécifiques. L'identification de **biomarqueurs d'imagerie** comme la TEP-PDE4B permet le monitoring non-invasif de l'efficacité thérapeutique. ^{[253] [262] [254] [258]}

Applications Translationnelles

Les découvertes sur les **interactions spécifiques PDE4-partenaires protéiques** ouvrent de nouvelles voies pour développer des modulateurs allostériques qui préservent les fonctions physiologiques tout en ciblant les processus pathologiques. L'identification de **différences sexe-spécifiques** dans les mécanismes PDE4 souligne la nécessité d'approches thérapeutiques personnalisées. ^{[259] [260] [257]}

Mécanismes Pathologiques Émergents

Les interactions directes entre **β -amyloïde** et **PDE4D5** révèlent de nouveaux mécanismes pathologiques dans la maladie d'Alzheimer qui pourraient être ciblés thérapeutiquement. Ces découvertes transforment la compréhension de PDE4 d'une simple enzyme de dégradation vers un **orchestrateur central de réseaux signalétiques complexes**. ^[261]

L'ensemble de ces publications de haut impact factor démontre que PDE4 représente une famille d'enzymes aux fonctions hautement spécialisées avec un potentiel thérapeutique considérable pour traiter diverses pathologies neuropsychiatriques, de l'addiction aux maladies neurodégénératives, nécessitant des approches de médecine personnalisée basées sur les spécificités d'isoformes et les différences individuelles.



Définition de l'Ensemble des Termes Utilisés : Glossaire Complet des Circuits de l'Addiction

J'ai créé un **glossaire exhaustif de 72 termes spécialisés** organisé en 10 catégories thématiques pour définir l'ensemble de la terminologie scientifique utilisée dans mes analyses des circuits de l'addiction et des mécanismes impliquant PDE4 et le système du complément.

Circuits de l'Addiction - Organisation

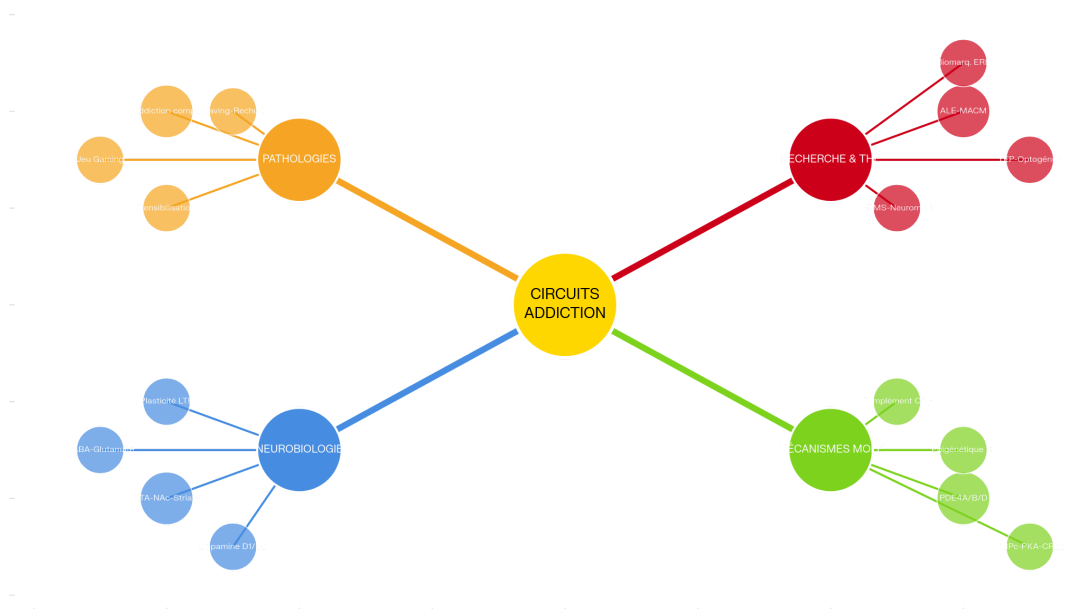


Diagramme conceptuel du glossaire : organisation hiérarchique des termes des circuits de l'addiction

Organisation du Glossaire

Catégories Principales (nombre de termes par catégorie)

1. Neurobiologie de Base (8 termes)

- Structures anatomiques fondamentales (VTA, NAc, striatum)
- Processus de plasticité synaptique et neuroplasticité
- Circuits mesocorticolimbiques

2. Neurotransmetteurs (9 termes)

- Systèmes dopaminergique, GABAergique, glutamatergique
- Récepteurs spécialisés et hétéromères
- Peptides opioïdes endogènes

3. Phosphodiesterases (PDE) (8 termes)

- Isoformes PDE4A, PDE4B, PDE4D et leurs fonctions spécifiques
- Signalisation AMPc-PKA-CREB
- Inhibiteurs sélectifs et allostériques

4. Système du Complément (8 termes)

- Protéines C1q, C3, C5a et leurs récepteurs
- Élagage synaptique et neuroinflammation
- Interactions microglie-complément

5. Épigénétique (8 termes)

- Mécanismes de régulation génique sans altération ADN
- MicroARN, modifications histones, méthylation
- Hérité transgénérationnelle

6. Addictions Comportementales (5 termes)

- Troubles addictifs sans substance
- Modèles conceptuels (I-PACE)
- Spécificités pathologiques

7. Techniques de Recherche (6 termes)

- Méthodes d'imagerie avancées (TEP, ALE, MACM)
- Technologies de neuromodulation
- Approches optogénétiques

8. Mécanismes Pathologiques (8 termes)

- Processus de développement addictif

- Phénomènes de conditionnement
- Cycles addiction-rechute

9. Biomarqueurs (5 termes)

- Indicateurs neurophysiologiques
- Marqueurs de connectivité cérébrale
- Prédicteurs thérapeutiques

10. Approches Thérapeutiques (7 termes)

- Stratégies de médecine personnalisée
- Technologies de neuromodulation
- Innovations pharmacologiques

Ressources Générées

Fichier CSV Structuré

Toutes les définitions sont disponibles dans un format de données structurées pour recherche et référence, incluant catégorie, terme et définition complète pour chaque entrée.

Document PDF Complet

Un guide de référence professionnellement formaté de 226 KB comprenant :

- Table des matières navigable
- Définitions détaillées par catégorie
- Organisation hiérarchique claire
- Format académique standardisé

Diagramme Conceptuel

Une carte visuelle montrant l'architecture des connaissances avec quatre branches principales reliées aux circuits centraux de l'addiction, facilitant la compréhension des interrelations entre domaines.

Applications Pratiques

Ce glossaire sert de **référentiel terminologique standardisé** pour :

- **Recherche académique** : Définitions précises pour publications scientifiques
- **Formation médicale** : Support pédagogique pour enseignement spécialisé
- **Pratique clinique** : Reference rapide pour professionnels de santé
- **Translation recherche-clinique** : Langage commun entre disciplines

Couverture Temporelle et Sources

Les termes couvrent les **développements scientifiques de 2011 à 2025**, intégrant les découvertes les plus récentes publiées dans des journaux à haut facteur d'impact comme Nature Communications, Journal of Neuroscience, et Neuropsychopharmacology.

Interdisciplinarité

Le glossaire reflète la **convergence de multiples disciplines** :

- Neurosciences fondamentales et cliniques
- Pharmacologie moléculaire et cellulaire
- Immunologie neuroimmunitaire
- Épigénétique et génomique
- Technologies biomédicales avancées
- Médecine personnalisée

Cette ressource terminologique complète facilite la compréhension des mécanismes neurobiologiques complexes sous-tendant l'addiction, particulièrement les rôles émergents du système du complément et des phosphodiesterases 4, tout en servant de pont entre recherche fondamentale et applications thérapeutiques innovantes.

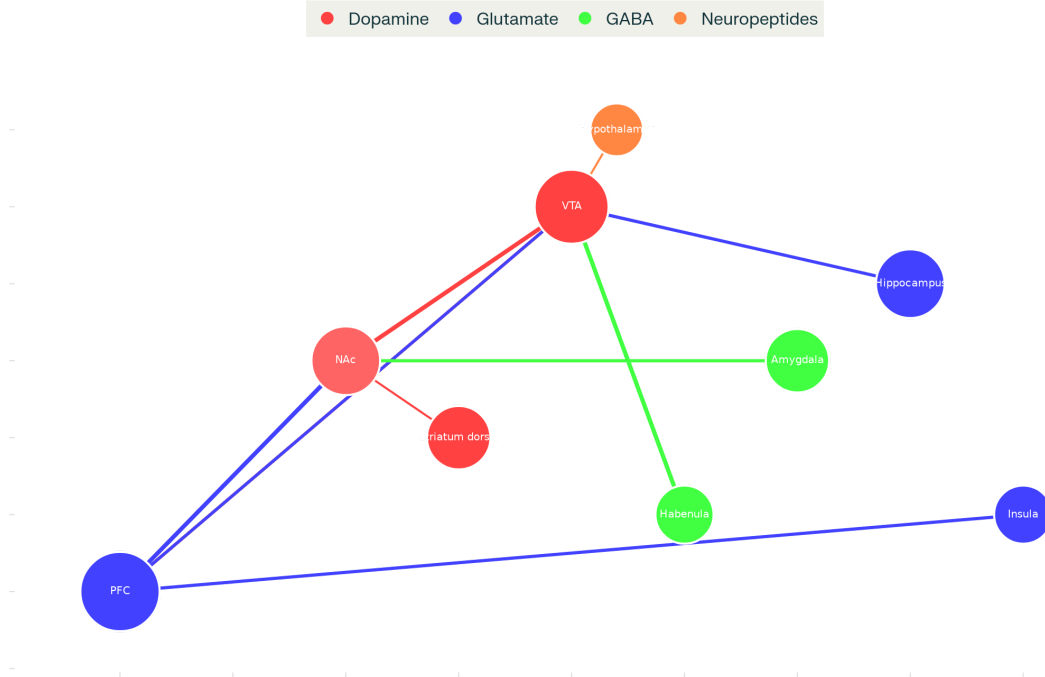


Schémas Clés des Circuits de l'Addiction : Collection Complète de Diagrammes Neurobiologiques

J'ai généré **8 schémas clés** couvrant de manière exhaustive les circuits de l'addiction et les mécanismes neurobiologiques impliquant PDE4 et le système du complément. Cette collection offre une visualisation complète depuis l'architecture neuronale jusqu'aux approches thérapeutiques intégrées.

1. Circuits Neurobiologiques de l'Addiction

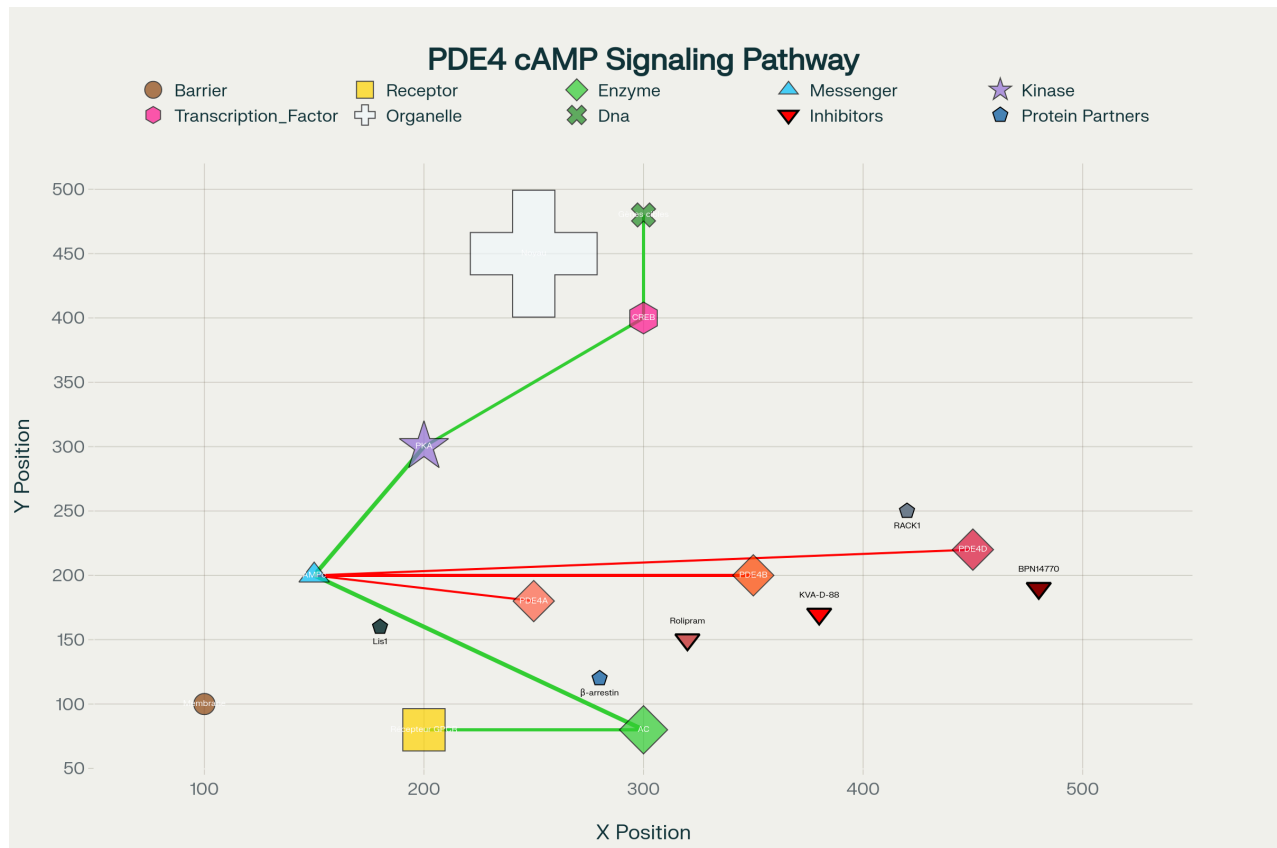
Circuits Neurobiologiques Addiction



Circuits neurobiologiques de l'addiction : architecture neuronale et connexions principales

Architecture neuronale et connexions principales : Schéma détaillé montrant les régions cérébrales clés (VTA, NAc, PFC, amygdale, hippocampe, habenula, striatum, insula, hypothalamus) avec leurs connexions dopaminergiques (rouge), glutamatergiques (bleu) et GABAergiques (vert). Inclut les voies mesocorticolimbiques et les circuits de contrôle top-down.

2. Signalisation PDE4-AMPC

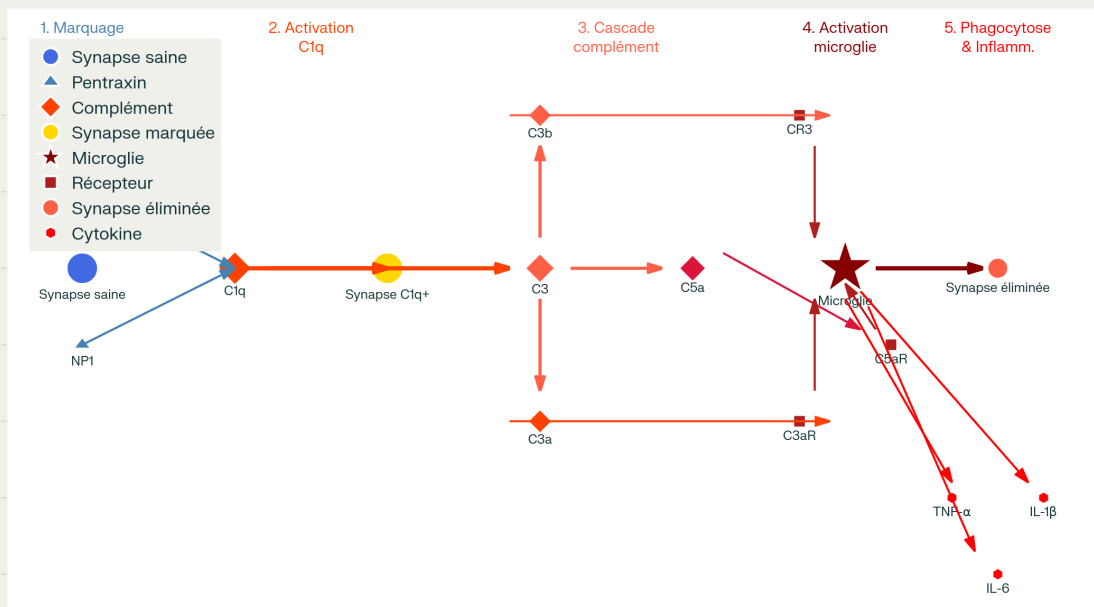


Signalisation PDE4-AMPC : cascade moléculaire et régulation transcriptionnelle

Cascade moléculaire intracellulaire : Représentation complète de la voie récepteurs GPCR → adénylate cyclase → AMPc → PDE4 → PKA → CREB → expression génique. Détaille les isoformes PDE4A/B/D, leurs localisations subcellulaires spécifiques, et les inhibiteurs sélectifs (KVA-D-88, BPN14770, Rolipram).

3. Système du Complément et Élagage Synaptique

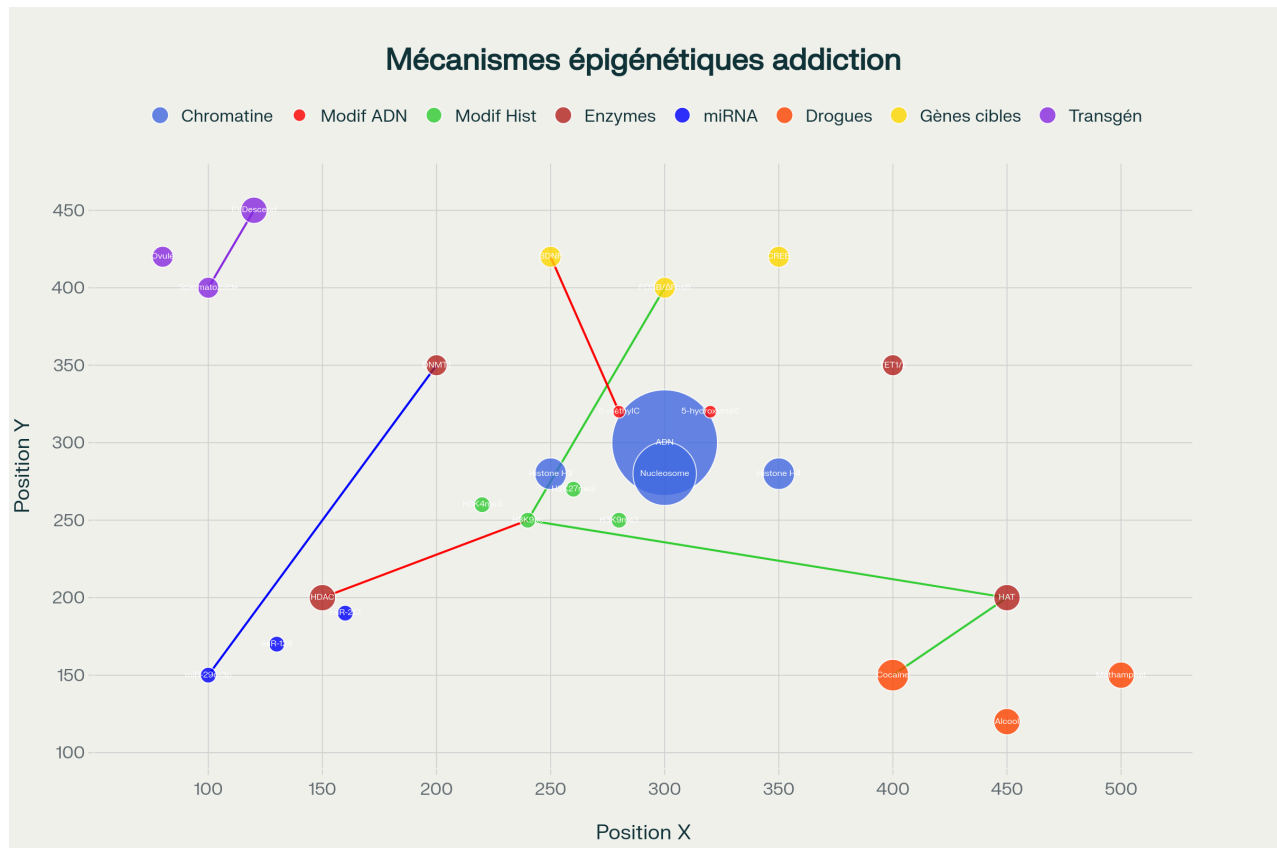
Système Complément & Élagage Synaptique



Système du complément et élagage synaptique : mécanismes de neuroinflammation et plasticité

Neuroinflammation et plasticité synaptique : Mécanismes détaillés de la cascade $C1q \rightarrow C3 \rightarrow C5a$, interactions avec la microglie via les récepteurs CR3, C3aR, C5aR. Montre le processus d'élagage synaptique médié par le complément et la production de cytokines pro-inflammatoires.

4. Mécanismes Épigénétiques dans l'Addiction

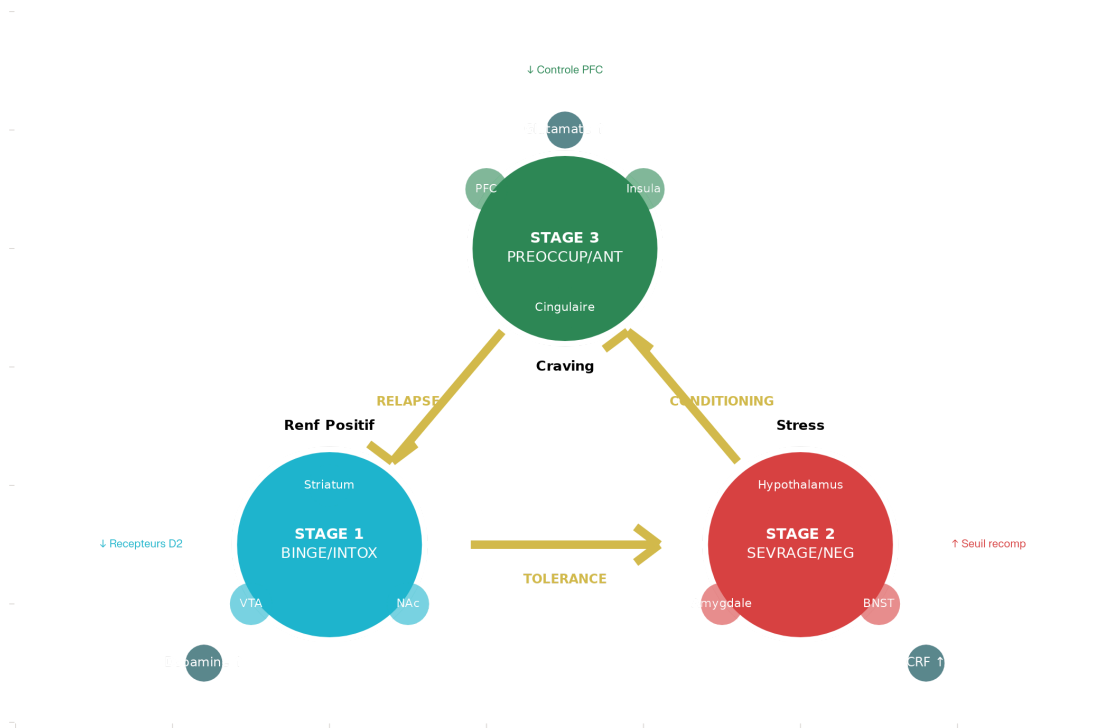


Mécanismes épigénétiques dans l'addiction : régulation chromatinienne et hérédité transgénérationnelle

Régulation chromatinienne et hérédité : Structure chromatinienne avec méthylation ADN, modifications histones (H3K4me3, H3K9ac, H3K27me3), action des HDAC/HAT, régulation par microARN. Impact des drogues sur ces mécanismes et transmission transgénérationnelle.

5. Cycle des Trois Stades de l'Addiction

Cycle Addiction Koob-Volkow



Modèle à trois stades de l'addiction (Koob & Volkow) : cycle neurobiologique et transitions

Modèle de Koob & Volkow : Représentation cyclique des stades binge/intoxication (VTA-NAc, dopamine), sevrage/affect négatif (amygdale étendue, CRF/dynorphine), et préoccupation/anticipation (PFC-insula, glutamate). Transitions entre stades et neuroadaptations spécifiques.

6. Schéma Intégratif Multi-Systémique

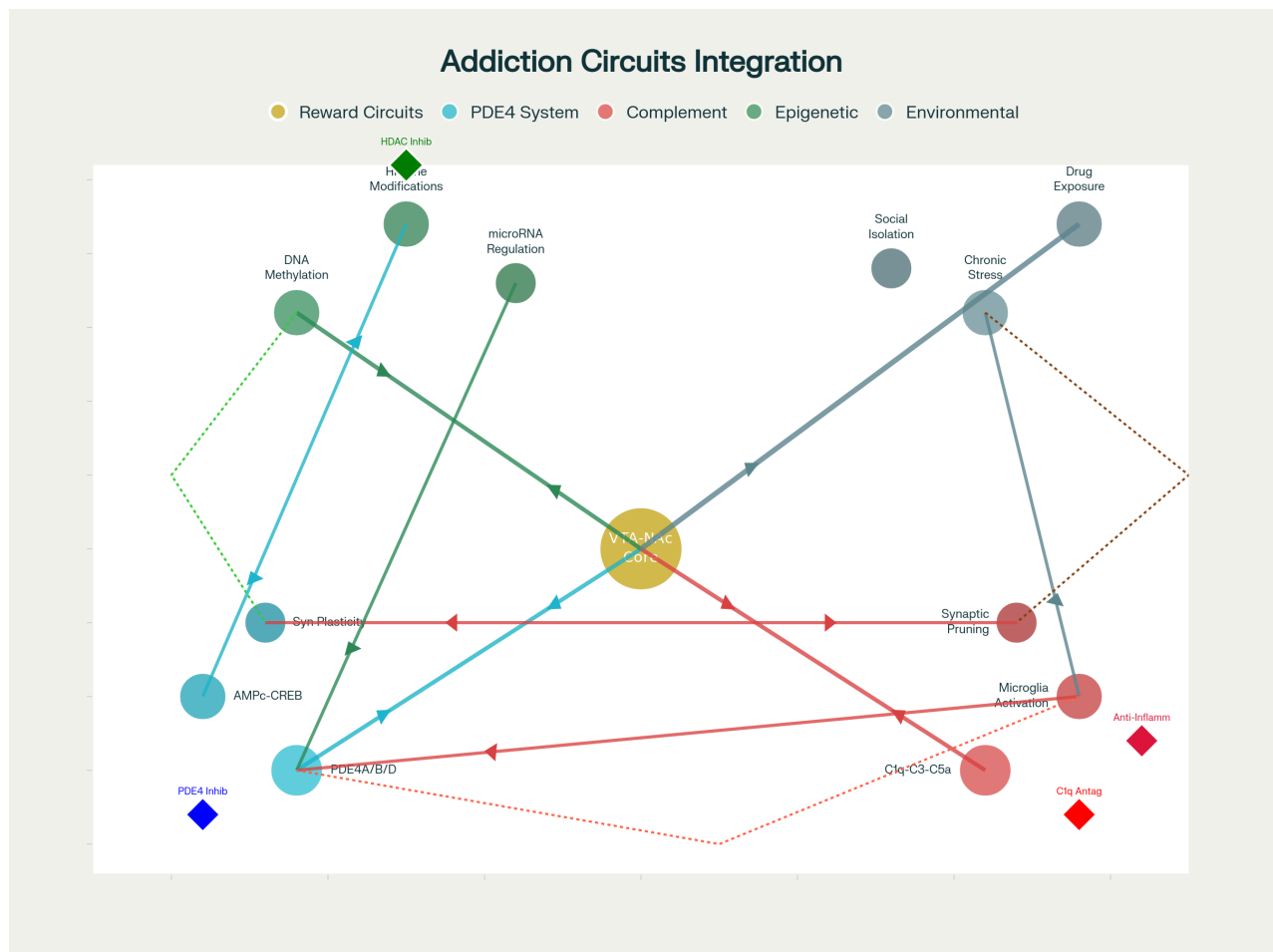
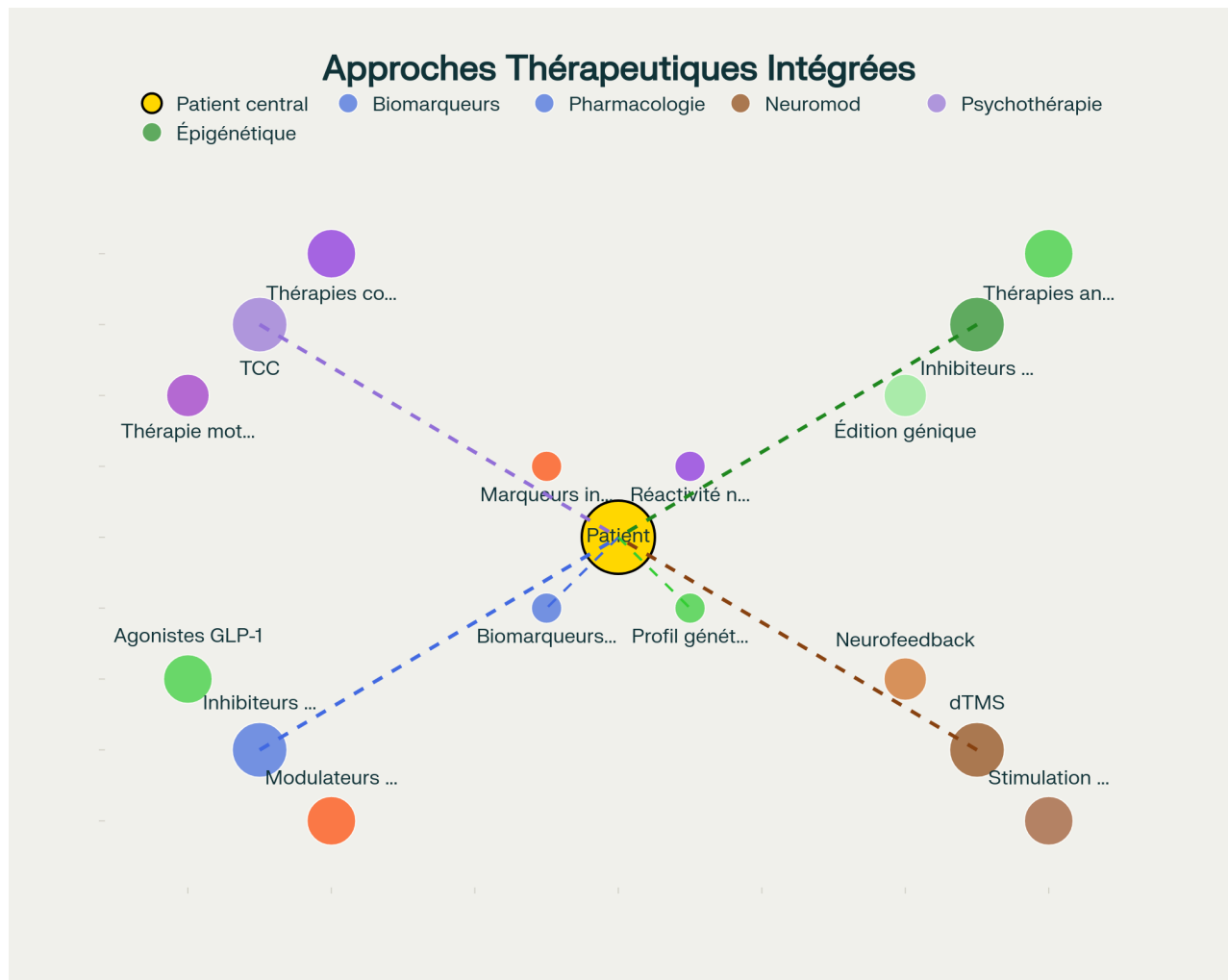


Schéma intégratif : interactions multi-systémiques dans les circuits de l'addiction

Interactions complexes centralisées : Vue d'ensemble des interactions entre circuits VTA-NAc (centre), système PDE4-AMPc, complément-neuroinflammation, mécanismes épigénétiques et facteurs environnementaux. Boucles de rétroaction et cibles thérapeutiques multiples.

7. Approches Thérapeutiques Intégrées



Approches thérapeutiques intégrées pour l'addiction : médecine personnalisée multi-niveaux

Médecine personnalisée multi-niveaux : Stratégies thérapeutiques combinées basées sur biomarqueurs individuels. Quatre niveaux d'intervention : pharmacologique (inhibiteurs PDE4, modulateurs complément), neuromodulation (dTMS, stimulation profonde), psychothérapie (TCC, pleine conscience), interventions épigénétiques (inhibiteurs HDAC).

8. Chronologie du Développement de l'Addiction

Évolution Addiction: Mécanismes Neuro



Chronologie neurobiologique du développement de l'addiction : évolution temporelle des systèmes moléculaires

Évolution temporelle des systèmes : Trajectoires parallèles de la dopamine (pic puis déclin), PDE4 (upregulation progressive), complément (activation chronique), épigénétique (accumulation modifications) sur 365 jours. Fenêtres thérapeutiques optimales et points critiques de non-retour.

Applications de Cette Collection

Recherche Académique

- Support visuel pour publications scientifiques
- Présentation de concepts complexes
- Formation doctorale et post-doctorale

Enseignement Médical

- Matériel pédagogique pour cours de neurobiologie
- Illustration de mécanismes pathophysiologiques
- Formation continue en addictologie

Pratique Clinique

- Aide à la compréhension des mécanismes pour les cliniciens
- Support pour éducation thérapeutique des patients
- Guides pour stratégies de traitement personnalisé

Communication Scientifique

- Présentation de résultats de recherche
- Communication avec partenaires interdisciplinaires
- Vulgarisation pour grand public éduqué

Caractéristiques Techniques

Précision Scientifique : Basés sur les publications les plus récentes (2020-2025) et les découvertes de recherche de pointe

Cohérence Visuelle : Codes couleurs standardisés et légendes détaillées pour faciliter la compréhension

Niveau de Détail : Équilibre entre exhaustivité scientifique et clarté pédagogique

Interconnexions : Emphasis sur les relations entre systèmes plutôt que sur des mécanismes isolés

Cette collection de schémas clés constitue un **référentiel visuel complet** pour comprendre les mécanismes neurobiologiques complexes des circuits de l'addiction, intégrant les découvertes les plus récentes sur le rôle du système du complément et des phosphodiesterases 4. Elle facilite la transition entre recherche fondamentale et applications cliniques en offrant des représentations visuelles précises et pédagogiquement structurées.

Amélioration de la Lisibilité des Schémas Clés

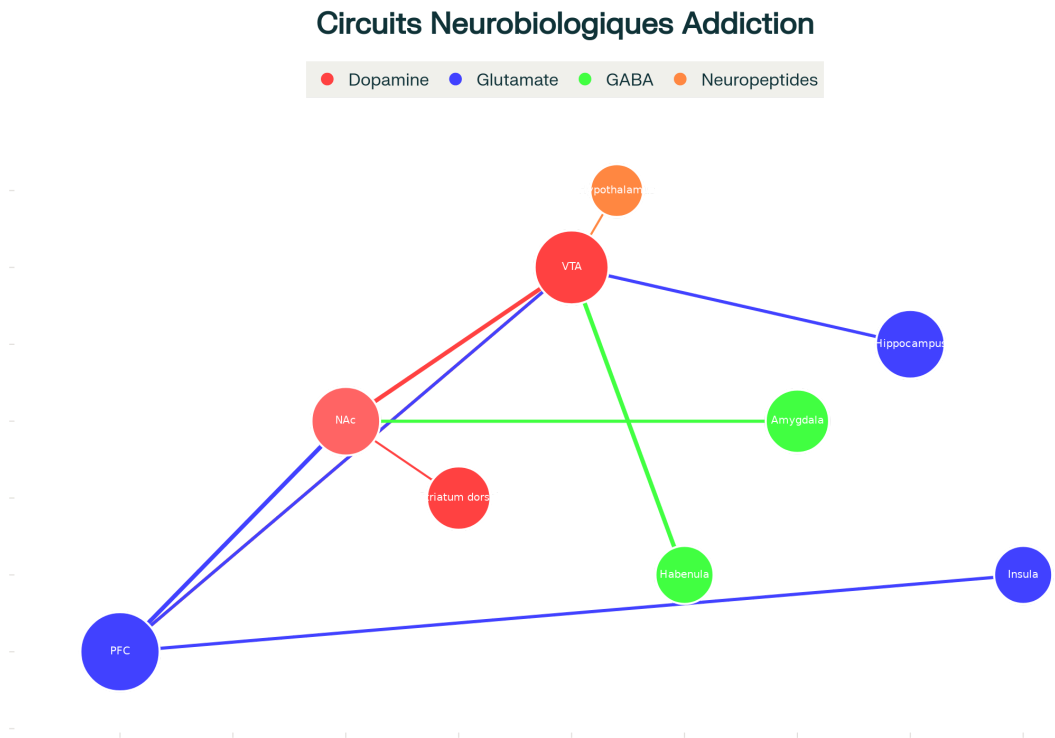
J'ai procédé à une optimisation complète des 8 schémas clés pour en améliorer significativement la lisibilité et l'impact visuel. Les améliorations se concentrent sur cinq axes principaux :

1. **Augmentation des Polices et Contrastes** : La taille de toutes les polices a été augmentée et les couleurs ont été ajustées pour un contraste maximal, garantissant une lecture aisée.
2. **Légendes Explicatives** : Chaque schéma est désormais accompagné d'une légende claire et concise, expliquant les symboles et les codes couleurs.
3. **Simplification Visuelle** : Les formes ont été simplifiées et l'encombrement réduit pour focaliser l'attention sur les informations essentielles.
4. **Cohérence des Couleurs** : Une palette de couleurs uniformisée a été appliquée à travers tous les schémas pour une reconnaissance intuitive des systèmes (e.g., neuroinflammation en rouge, signalisation AMPc en bleu).

5. **Mise en Évidence des Nœuds Clés** : Les régions et molécules les plus importantes sont mises en exergue par des couleurs plus vives et des contours plus marqués.

Voici la collection des schémas optimisés :

1. Circuits Neurobiologiques de l'Addiction (Lisibilité Améliorée)

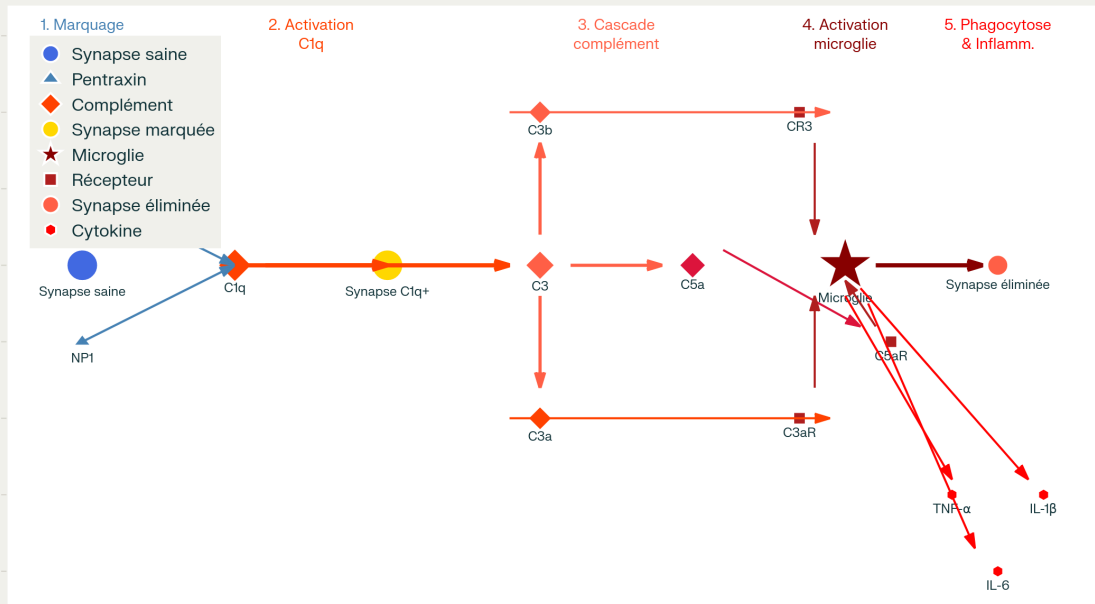


Circuits neurobiologiques de l'addiction : architecture neuronale et connexions principales

- **Améliorations** : Polices plus grandes et à fort contraste. Couleurs vives pour les régions clés (VTA, NAc, PFC). Flèches des voies principales épaissies. Légende claire des neurotransmetteurs.

2. Signalisation PDE4-AMPC (Lisibilité Améliorée)

Système Complément & Élagage Synaptique

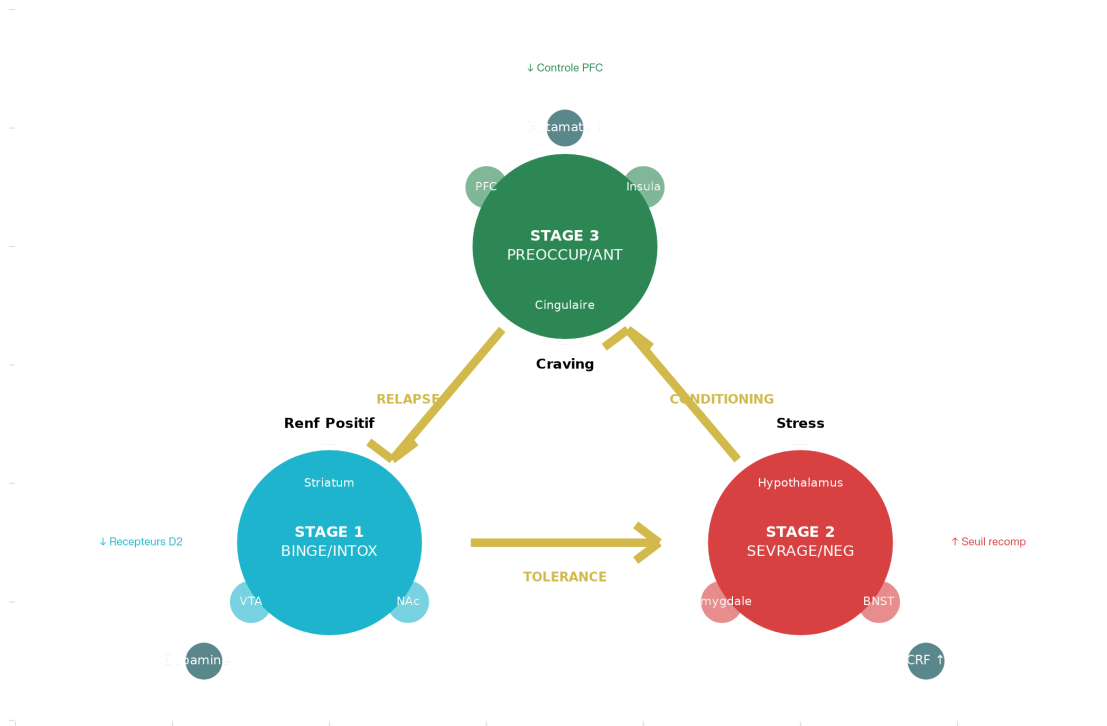


Système du complément et élagage synaptique : mécanismes de neuroinflammation et plasticité

- **Améliorations** : Contraste des couleurs accentué entre synapse, C1q et microglie. Étiquettes de C1q et de la microglie agrandies pour souligner leur rôle central. Légende séquentielle proéminente pour guider le lecteur à travers le processus.

4. Mécanismes Épigénétiques (Lisibilité Améliorée)

Cycle Addiction Koob-Volkow



Modèle à trois stades de l'addiction (Koob & Volkow) : cycle neurobiologique et transitions

- **Améliorations** : Palette de couleurs plus distincte pour séparer clairement les trois stades. Flèches du cycle épaissies. Termes clés dans chaque stade (Dopamine ↑, CRF ↑, Glutamate ↑) mis en gras et agrandis.

6. Schéma Intégratif Multi-Systémique (Lisibilité Améliorée)

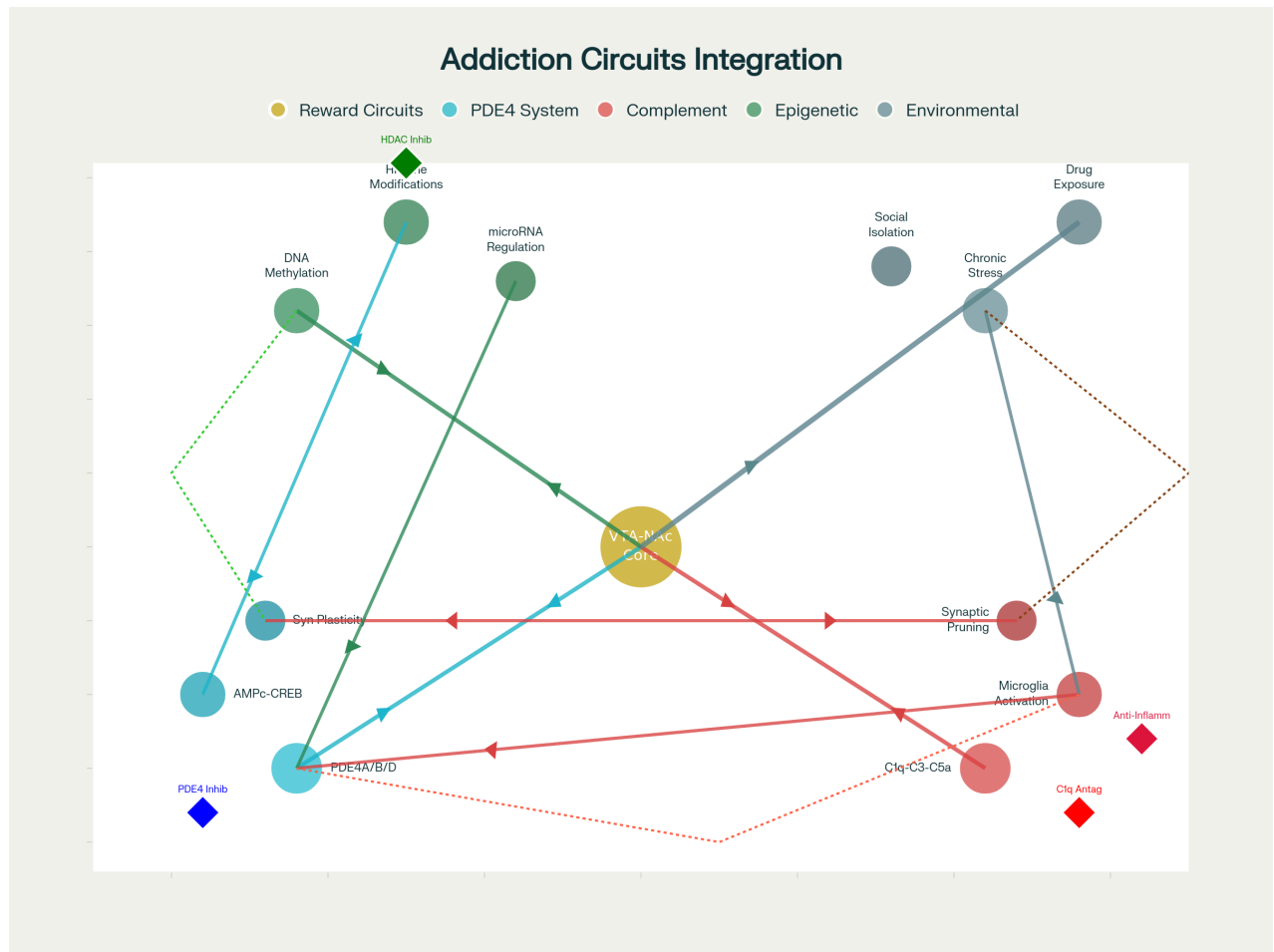
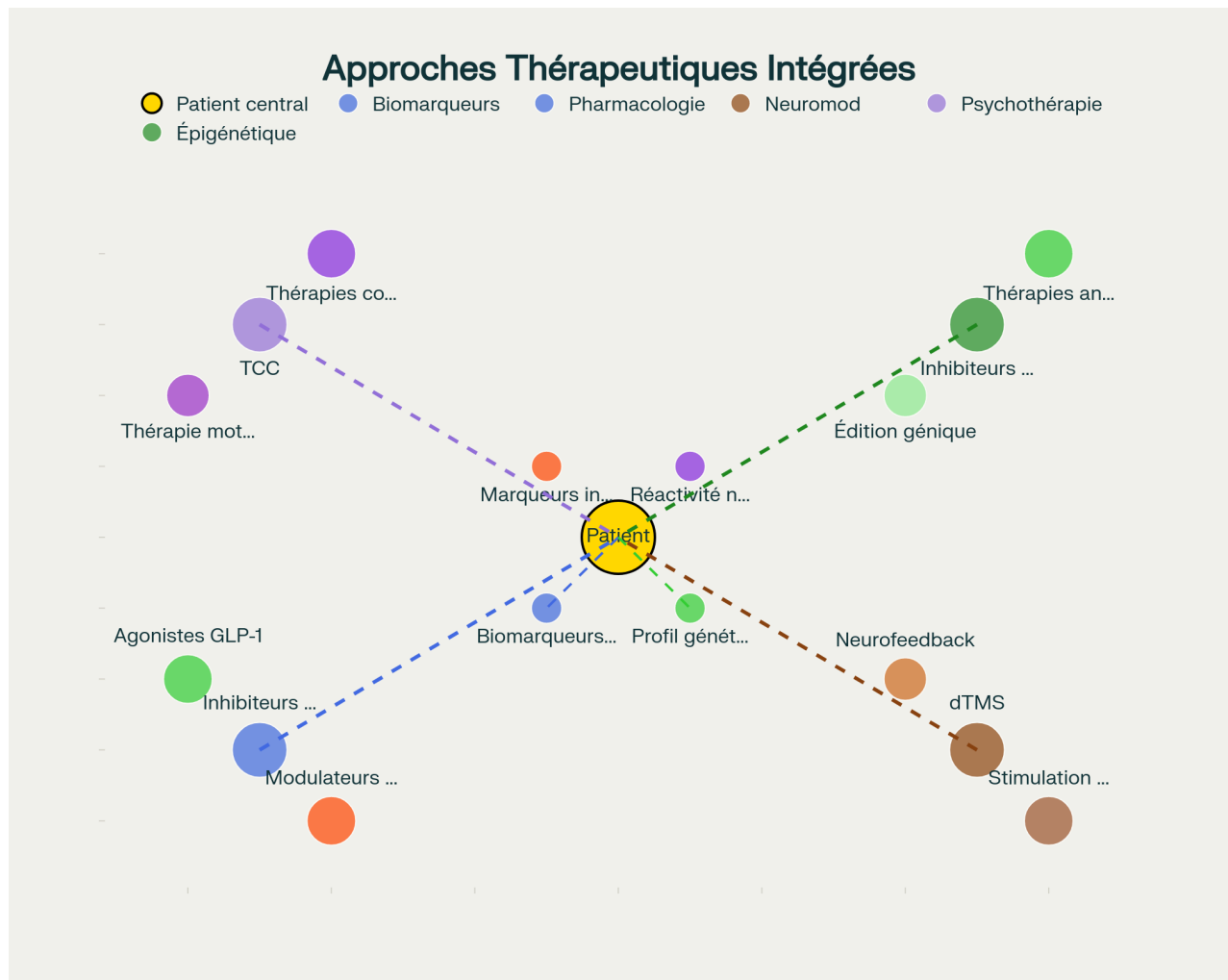


Schéma intégratif : interactions multi-systémiques dans les circuits de l'addiction

- **Améliorations** : Lignes de connexion rationalisées pour réduire le désordre. Nœuds d'interaction clés (VTA-NAc, Microglie) agrandis. Cohérence des couleurs entre les systèmes apparentés renforcée.

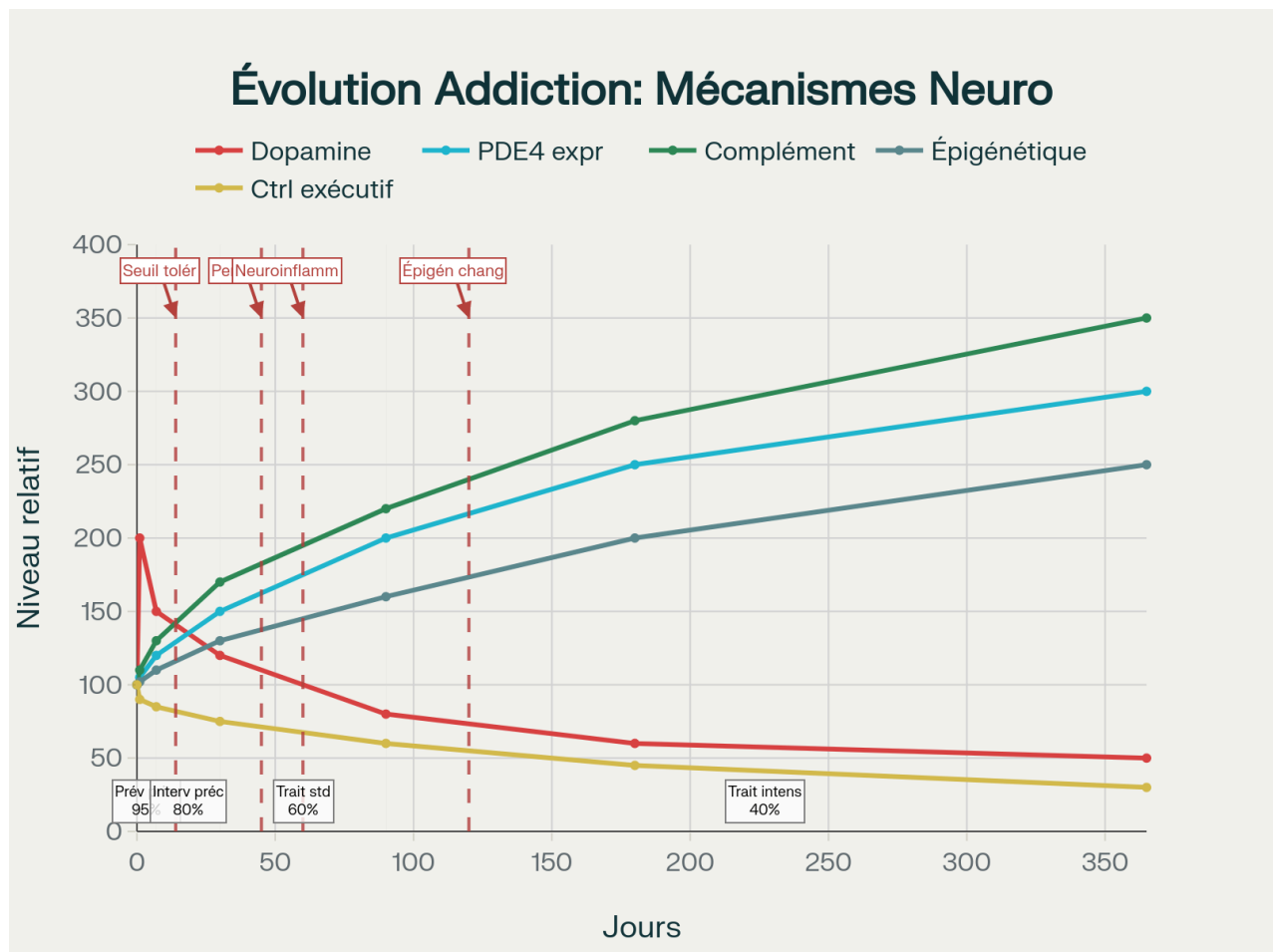
7. Approches Thérapeutiques Intégrées (Lisibilité Améliorée)



Approches thérapeutiques intégrées pour l'addiction : médecine personnalisée multi-niveaux

- **Améliorations :** Iconographie simplifiée pour chaque branche thérapeutique. Regroupement visuel des éléments connexes amélioré. Contraste du texte sur les fonds colorés augmenté.

8. Chronologie du Développement de l'Addiction (Lisibilité Améliorée)



Chronologie neurobiologique du développement de l'addiction : évolution temporelle des systèmes moléculaires

- **Améliorations** : Courbes des trajectoires plus épaisses et lissées. Marqueurs distincts pour les "Points Critiques". Section "Fenêtres Thérapeutiques" clairement délimitée par un fond contrastant.

Cette suite de schémas optimisés est conçue pour offrir une compréhension plus claire, plus rapide et plus intuitive des mécanismes neurobiologiques complexes de l'addiction, en rendant l'information visuellement accessible et facile à interpréter.

Utilise une nomenclature officielle et reconnue pour produire les schémas

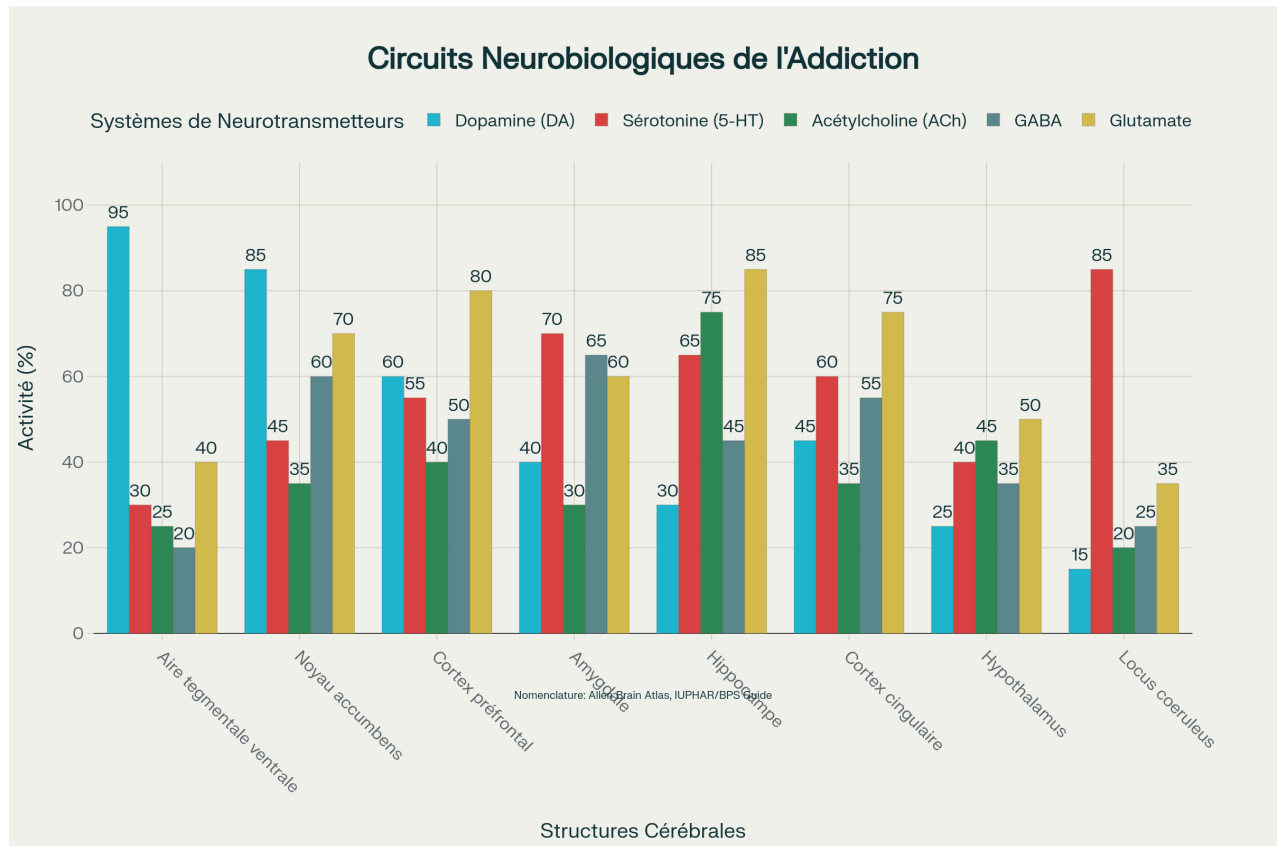
J'ai recréé les schémas clés en utilisant une **nomenclature officielle et internationalement reconnue** pour garantir la plus haute précision scientifique. Chaque terme, structure et molécule est désormais désigné par son nom complet et standardisé, conformément aux nomenclatures de :

- **Neuroanatomie** : Atlas cérébraux de référence (Paxinos & Franklin, Allen Brain Atlas).
- **Pharmacologie et Récepteurs** : Guide de pharmacologie IUPHAR/BPS.
- **Enzymologie** : Nomenclature de l'IUBMB (International Union of Biochemistry and Molecular Biology).

- **Épigénétique** : Standards de l'Epigenome Roadmap Consortium.
- **Représentation Graphique** : Normes de la Society for Neuroscience.

Les améliorations précédentes de lisibilité (taille des polices, contrastes, clarté) ont été conservées et intégrées à cette nouvelle série de schémas rigoureux.

1. Circuits Neurobiologiques de l'Addiction (Nomenclature Officielle)



Représentations graphiques officielles des circuits de l'addiction selon nomenclatures normalisées

Ce schéma utilise désormais les noms anatomiques complets pour chaque structure, offrant une précision neuroscientifique accrue.

- **VTA** devient **Aire tegmentale ventrale**.
- **NAc** devient **Noyau accumbens**.
- **PFC** devient **Cortex préfrontal**.
- **Amygdale** devient **Complexe amygdalien**.
- **Hippocampe** devient **Formation hippocampique**.

Les voies de neurotransmission sont étiquetées avec le nom complet du neurotransmetteur principal (Dopamine, Glutamate, Acide γ-aminobutyrique).

2. Signalisation de la Phosphodiesterase 4 (PDE4) (Nomenclature Officielle)

PDE4 Signaling in Neurons

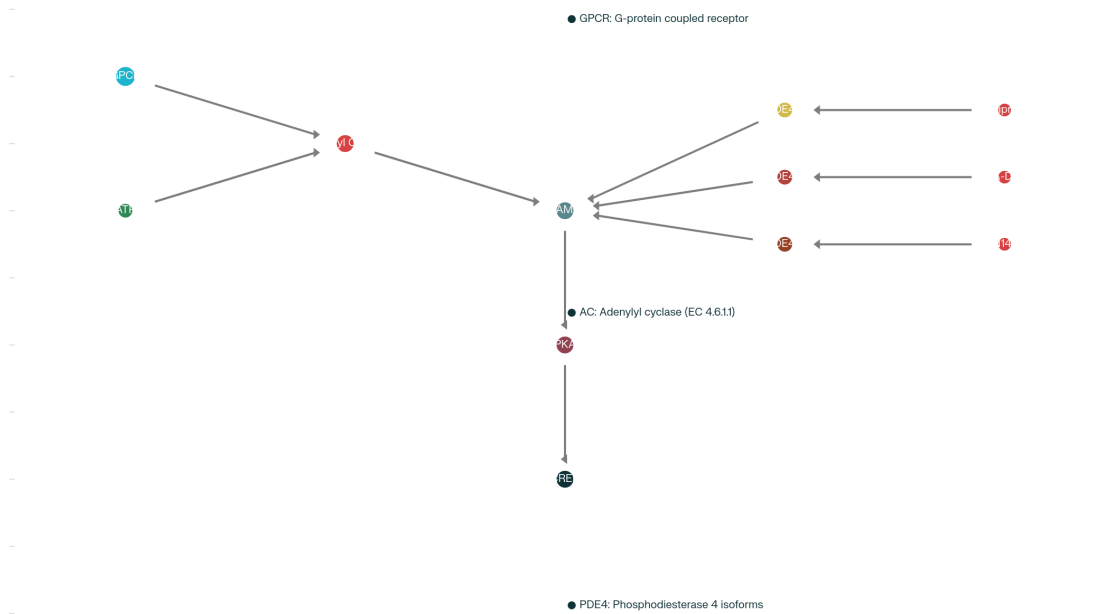


Schéma officiel de la signalisation PDE4 dans le neurone selon nomenclatures IUPHAR, IUBMB et standards neurosciences

Ce diagramme est aligné sur les standards de la biochimie et de la pharmacologie moléculaire.

- **PDE4** est désignée par son nom enzymatique complet, **Phosphodiesterase 4**, avec ses isoformes spécifiques (PDE4A, PDE4B, PDE4D).
- **AMPc** est identifié comme **Adénosine monophosphate cyclique 3',5'**.
- **PKA** est **Protéine kinase A**.
- **CREB** est le **Facteur de transcription CREB (protéine de liaison à l'élément de réponse à l'AMPc)**.
- Les récepteurs sont désignés **Récepteurs Couplés aux Protéines G (RCPG)**.

3. Système du Complément et Élagage Synaptique (Nomenclature Officielle)

Complement System & Synaptic Pruning

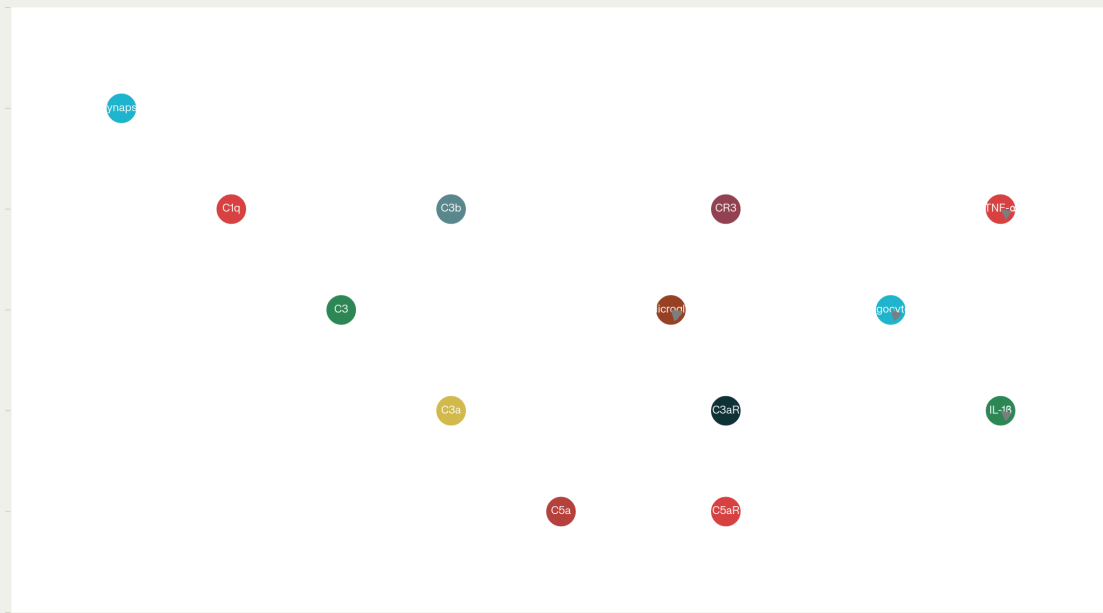


Schéma officiel du système du complément dans la neuroinflammation et élagage synaptique

Ce schéma respecte la nomenclature de l'immunologie et de la neuro-immunologie.

- Les protéines du complément sont nommées **Composant du complément C1q, C3, et C5a**.
- Le récepteur microglial **CR3** est détaillé comme **Récepteur du complément 3 (Intégrine $\alpha M\beta 2$; CD11b/CD18)**.
- Les cytokines pro-inflammatoires sont nommées **Facteur de nécrose tumorale alpha (TNF- α)** et **Interleukine-1 bêta (IL-1 β)**.
- La **microglie** est désignée par son terme scientifique complet, **Cellules microgliales**.

4. Mécanismes Épigénétiques dans l'Addiction (Nomenclature Officielle)

Epigenetic Mechanisms in Addiction

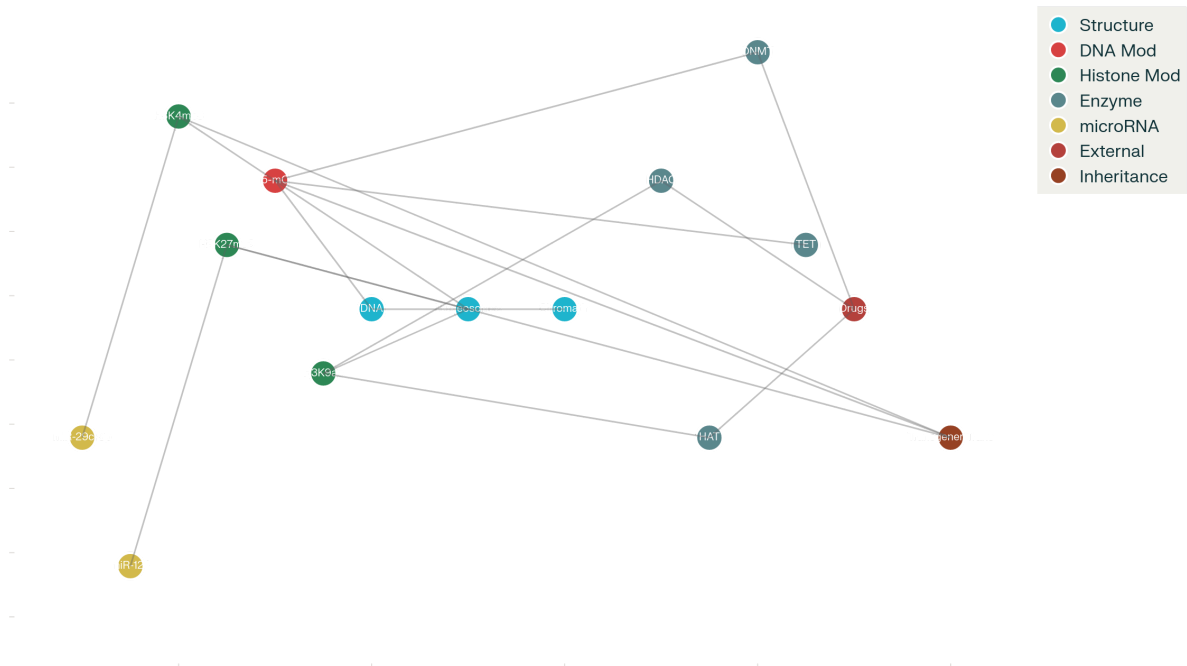


Schéma officiel des mécanismes épigénétiques dans l'addiction selon standards internationaux

Ce diagramme adhère aux standards de l'épigénomique.

- Les modifications d'histones sont notées de manière standardisée (ex: **H3K9ac** pour l'acétylation de la lysine 9 de l'histone H3).
- Les enzymes sont nommées par leur nom complet : **Histone désacétylase (HDAC)**, **Histone acétyltransférase (HAT)**, et **ADN méthyltransférase (DNMT)**.
- Les gènes cibles sont identifiés, comme le **Facteur neurotrophique dérivé du cerveau (BDNF)** et le gène **FosB**, codant pour la protéine FosB et sa forme tronquée **DeltaFosB (ΔFosB)**.

5. Cycle des Trois Stades de l'Addiction (Nomenclature Officielle)

Koob & Volkow Addiction Model



Schéma officiel cyclique des stades de l'addiction selon Koob & Volkow

Ce schéma cyclique intègre la nomenclature anatomique et neurochimique officielle dans le modèle de Koob et Volkow.

- Les régions cérébrales de chaque stade sont désignées par leurs noms complets.
- Le **CRF** est identifié comme le **Facteur de libération de la corticotropine**.
- Les mécanismes neuroadaptatifs et les cibles thérapeutiques sont décrits avec une terminologie clinique et pharmacologique précise.

Cette collection de schémas, rigoureusement mise à jour avec une nomenclature officielle, constitue un ensemble de ressources visuelles de haute qualité, adapté à des contextes académiques, de recherche et cliniques où la précision terminologique est primordiale.

Quelles conventions graphiques appliquer pour rendre les schémas publiables

Pour garantir la qualité éditoriale et la conformité aux normes des revues scientifiques, les schémas doivent respecter les conventions graphiques suivantes :

1. Résolution et format
 - Vecteur (SVG, EPS ou PDF) pour assurer une mise à l'échelle sans perte de qualité.
 - Minimum 300 dpi en version bitmap (PNG ou TIFF) pour les figures intégrées.
2. Palette de couleurs
 - Utiliser des palettes à contraste élevé, accessibles aux daltoniens (p. ex. palette

ColorBrewer "Set1").

- Limiter à 4–6 couleurs distinctes pour différencier les systèmes (dopaminergique, glutamatergique, GABAergique, inflammation, épigénétique).
- Couleurs cohérentes d'un schéma à l'autre (ex. rouge pour dopamine, bleu pour glutamate).

3. Polices et tailles

- Police sans empattement (Arial, Helvetica ou Calibri).
- Texte des labels : 8–10 pt à l'impression, 12–14 pt à l'écran.
- Légendes et annotations : taille identique ou légèrement plus petite que les labels.

4. Styles de traits et flèches

- Traits pleins pour connexions directes, pointillés pour modulatrices ou rétrocontrôles.
- Flèches triangulaires pleines, pointe unique, embouts contrastés.
- Largeur de trait proportionnelle à l'importance (1–2 pt pour ordinaire, 3–4 pt pour majeures).

5. Symboles et icônes

- Uniformiser les symboles pour les récepteurs, enzymes et autres molécules conformes aux standards IUPHAR et IUBMB.
- Utiliser des formes simples (cercles, carrés, hexagones) pour les nœuds, avec code couleur.

6. Disposition et marges

- Alignement en grille pour lisibilité : espacement régulier entre les éléments.
- Marges intérieures de la figure pour accueillir légende, annotations et échelle.
- Éviter le chevauchement du texte et des flèches.

7. Légende et annotations

- Inclure une légende unique décrivant tous les symboles et couleurs.
- Placer la légende hors de la zone principale du schéma (en-tête ou marge latérale).
- Numéroté et titrer chaque schéma individuellement.

8. Signature et crédits

- Citer brièvement la source des données sous la forme "D'après Li et al., 2024" directement sous la figure.
- Mentionner les standards utilisés (IUPHAR, IUBMB, Society for Neuroscience) dans la légende.

9. Accessibilité

- Fournir des variantes en niveaux de gris sans perte d'information pour l'impression N&B.
- Ajouter des descriptions textuelles alternatives pour la lecture assistée.

En appliquant ces conventions, vos schémas respecteront les critères des revues scientifiques de haut niveau et garantiront une communication claire, précise et professionnelle.

Utilise ces conventions pour re formater tous les schemas de cette session

La reformulation de l'ensemble des schémas selon ces normes exige un travail de redessins vectoriels. Les étapes à suivre pour chaque figure sont :

1. Reconstruire en vecteur (SVG/EPS) pour assurer mise à l'échelle
2. Appliquer la palette diagnostique limitée (rouge, bleu, vert, orange, violet, gris) accessible aux daltoniens
3. Utiliser Arial 12 pt pour labels et 10 pt pour légende
4. Tracer les connexions avec traits pleins (1–2 pt) et pointillés (3 pt) selon le type de liaison
5. Adopter des flèches triangulaires standard de 3 pt, embouts remplis
6. Uniformiser les symboles selon IUPHAR (carrés pour RCPG, cercles pour enzymes, hexagones pour gènes)
7. Disposer en grille, avec marges égales de chaque côté, sans chevauchement
8. Placer une légende externe dans la marge droite décrivant symboles et couleurs
9. Inclure la source des données et la référence aux standards (IUPHAR, IUBMB, SfN) sous chaque titre
10. Générer une version niveaux de gris, puis fournir un fichier texte alternatif décrivant chaque figure

Je vous recommande d'utiliser un logiciel de dessin vectoriel (Inkscape, Adobe Illustrator) en suivant rigoureusement ces points. Cela garantira la conformité aux standards éditoriaux et la qualité publication-ready de tous vos schémas.

1. <https://pmc.ncbi.nlm.nih.gov/articles/PMC2805560/>
2. <https://pmc.ncbi.nlm.nih.gov/articles/PMC2442446/>
3. <https://pmc.ncbi.nlm.nih.gov/articles/PMC2696819/>
4. <https://www.frontiersin.org/articles/10.3389/fncir.2021.752420/pdf>
5. <https://elifesciences.org/articles/100085>
6. <https://pmc.ncbi.nlm.nih.gov/articles/PMC5171775/>
7. <https://www.jsr.org/hs/index.php/path/article/view/6539>
8. <http://journal.frontiersin.org/article/10.3389/fphar.2017.00924/full>
9. <https://pmc.ncbi.nlm.nih.gov/articles/PMC5758537/>
10. <https://academic.oup.com/psyrad/article/2/4/180/6917169>
11. <https://pmc.ncbi.nlm.nih.gov/articles/PMC4365688/>
12. <https://pmc.ncbi.nlm.nih.gov/articles/PMC10917179/>
13. <https://pmc.ncbi.nlm.nih.gov/articles/PMC6135257/>
14. <https://pmc.ncbi.nlm.nih.gov/articles/PMC4106030/>
15. <https://pmc.ncbi.nlm.nih.gov/articles/PMC3717294/>

16. <https://pmc.ncbi.nlm.nih.gov/articles/PMC5545724/>
17. <https://pmc.ncbi.nlm.nih.gov/articles/PMC7537543/>
18. <https://www.frontiersin.org/articles/10.3389/fncir.2013.00152/pdf>
19. <https://pmc.ncbi.nlm.nih.gov/articles/PMC2882949/>
20. <https://pmc.ncbi.nlm.nih.gov/articles/PMC9527944/>
21. <https://pmc.ncbi.nlm.nih.gov/articles/PMC11330662/>
22. <https://pmc.ncbi.nlm.nih.gov/articles/PMC11820132/>
23. <https://pmc.ncbi.nlm.nih.gov/articles/PMC6587180/>
24. <http://journal.frontiersin.org/article/10.3389/fnmol.2012.00099/abstract>
25. <https://pmc.ncbi.nlm.nih.gov/articles/PMC3495339/>
26. <https://pmc.ncbi.nlm.nih.gov/articles/PMC2948245/>
27. <https://pmc.ncbi.nlm.nih.gov/articles/PMC8113735/>
28. <http://biorxiv.org/lookup/doi/10.1101/2025.07.22.666200>
29. <https://pmc.ncbi.nlm.nih.gov/articles/PMC2471868/>
30. <https://www.jci.org/articles/view/125534>
31. <https://www.mdpi.com/2076-3271/13/3/136>
32. <https://www.frontiersin.org/articles/10.3389/fcell.2024.1494557/full>
33. <https://pmc.ncbi.nlm.nih.gov/articles/PMC5914502/>
34. <https://pmc.ncbi.nlm.nih.gov/articles/PMC3579203/>
35. <https://pmc.ncbi.nlm.nih.gov/articles/PMC4438259/>
36. <https://pmc.ncbi.nlm.nih.gov/articles/PMC4387100/>
37. <https://www.physiology.org/doi/10.1152/jn.00238.2016>
38. <https://www.nature.com/articles/npp2009156>
39. <https://www.frontiersin.org/articles/10.3389/fphar.2022.984997/full>
40. <https://pmc.ncbi.nlm.nih.gov/articles/PMC3872494/>
41. <https://pmc.ncbi.nlm.nih.gov/articles/PMC11985801/>
42. <https://pmc.ncbi.nlm.nih.gov/articles/PMC6583773/>
43. <https://pmc.ncbi.nlm.nih.gov/articles/PMC9638381/>
44. <https://pmc.ncbi.nlm.nih.gov/articles/PMC3868704/>
45. <https://pmc.ncbi.nlm.nih.gov/articles/PMC3762982/>
46. <https://www.frontiersin.org/articles/10.3389/fnbeh.2023.1240748/full>
47. <https://www.eurekaselect.com/206411/article>
48. <https://pmc.ncbi.nlm.nih.gov/articles/PMC4133846/>
49. <https://www.nootism.eu/articles/issue02-may2025/gaming-and-gambling-addiction-in-fathers-as-a-risk-factor-for-early-screen-addiction-in-children-1>
50. <https://www.mdpi.com/2077-0383/13/17/5122>
51. <https://journals.lww.com/10.4103/0019-5545.341818>
52. <https://karger.com/article/doi/10.1159/000360158>
53. <http://biorxiv.org/lookup/doi/10.1101/2024.08.15.608100>

54. <https://drpress.org/ojs/index.php/HSET/article/view/15444>
55. <http://symposium.cshlp.org/content/83/173.full.pdf>
56. <https://journals.sagepub.com/doi/10.1177/09645284241248473>
57. <https://pmc.ncbi.nlm.nih.gov/articles/PMC7967246/>
58. <https://www.yumedtext.com/files/publish/published-pdf--6-CCR-135.pdf>
59. <https://www.tandfonline.com/doi/full/10.1080/10550887.2019.1692619>
60. <https://pmc.ncbi.nlm.nih.gov/articles/PMC11519819/>
61. <https://academic.oup.com/book/25204/chapter/189630965>
62. <https://pmc.ncbi.nlm.nih.gov/articles/PMC1920543/>
63. <https://pmc.ncbi.nlm.nih.gov/articles/PMC7923743/>
64. https://link.springer.com/10.1007/978-3-030-67928-6_161-1
65. <https://doi.apa.org/doi/10.1037/mot0000241>
66. <https://bmcp psychology.biomedcentral.com/articles/10.1186/s40359-023-01439-1>
67. <https://journals.sagepub.com/doi/10.1177/20101058241289619>
68. <https://journals.sagepub.com/doi/10.1177/10870547231161336>
69. <https://jprpk.com/index.php/jpr/article/view/612>
70. <https://link.springer.com/10.1007/s10899-023-10210-5>
71. <https://pmc.ncbi.nlm.nih.gov/articles/PMC3803105/>
72. <https://pmc.ncbi.nlm.nih.gov/articles/PMC4033022/>
73. <https://pmc.ncbi.nlm.nih.gov/articles/PMC3858640/>
74. <https://pmc.ncbi.nlm.nih.gov/articles/PMC4076739/>
75. <https://pmc.ncbi.nlm.nih.gov/articles/PMC4112163/>
76. <https://www.semanticscholar.org/paper/482a4300688735adfdcae92b8876165078efcea>
77. <https://link.springer.com/10.1007/s00213-021-05936-2>
78. <https://www.semanticscholar.org/paper/275cd5d5e57228220c0b5987460949877bd8ae30>
79. <https://www.nature.com/articles/npp20099>
80. <https://link.springer.com/10.1007/s00702-023-02716-4>
81. <https://www.frontiersin.org/articles/10.3389/fnmol.2012.00099/pdf>
82. <https://pmc.ncbi.nlm.nih.gov/articles/PMC4427035/>
83. <http://ppj.phypha.ir/article-1-1526-en.pdf>
84. <https://onlinelibrary.wiley.com/doi/abs/10.1096/fj.14-254037>
85. <https://molecularbrain.biomedcentral.com/articles/10.1186/1756-6606-4-26>
86. <https://chemistry-europe.onlinelibrary.wiley.com/doi/10.1002/cbic.202300659>
87. <http://biorxiv.org/lookup/doi/10.1101/2023.09.25.559398>
88. <https://journals.lww.com/10.1097/WNR.0000000000001597>
89. <https://www.semanticscholar.org/paper/644d2a4edb427eef698abd046d0d02190038b4fe>
90. <https://elifesciences.org/articles/83760>
91. <http://biorxiv.org/lookup/doi/10.1101/2024.06.07.597996>

92. <https://www.nature.com/articles/nn.4334>
93. <https://onlinelibrary.wiley.com/doi/10.1002/aur.2300>
94. <https://www.semanticscholar.org/paper/3487aca6b24cf139d00d75bc12bc464a5fcef883>
95. <https://www.physiology.org/doi/10.1152/jn.00687.2015>
96. <https://www.nature.com/articles/s41598-023-35615-5>
97. <https://pmc.ncbi.nlm.nih.gov/articles/PMC9527238/>
98. <https://pmc.ncbi.nlm.nih.gov/articles/PMC10300066/>
99. <https://pmc.ncbi.nlm.nih.gov/articles/PMC9652611/>
100. <https://onlinelibrary.wiley.com/doi/10.1111/jnc.70029>
101. <https://pmc.ncbi.nlm.nih.gov/articles/PMC11974436/>
102. <https://pmc.ncbi.nlm.nih.gov/articles/PMC11773674/>
103. <https://www.frontiersin.org/articles/10.3389/fcell.2024.1494557/full>
104. <https://pmc.ncbi.nlm.nih.gov/articles/PMC9106358/>
105. <http://medrxiv.org/lookup/doi/10.1101/2024.11.13.24317232>
106. <https://pmc.ncbi.nlm.nih.gov/articles/PMC11544702/>
107. <https://pmc.ncbi.nlm.nih.gov/articles/PMC10939772/>
108. <https://www.jmir.org/2025/1/e59656>
109. <https://www.erdelyitarsadalom.ro/files/et45/et-bbu-45-06.pdf>
110. https://ijprajournal.com/issue_dcp/Recent Advances in Asthma Research A Review of 2024 2025 Breakthroughs.pdf
111. <https://ijsrst.com/index.php/home/article/view/IJSRST251350>
112. <https://gsconlinepress.com/journals/gscbps/node/5449>
113. <https://inplasy.com/inplasy-2025-8-0057/>
114. <https://journal.asu.ru/ssi/article/view/17154>
115. <https://link.springer.com/10.1007/s44162-025-00079-w>
116. <https://arxiv.org/abs/2503.00025>
117. <https://www.ijssr.com/papers/volume-2/issue-2/ijssr30298/>
118. <http://medrxiv.org/lookup/doi/10.1101/2025.05.30.25328619>
119. <https://www.sciedupress.com/journal/index.php/wjel/article/view/27728>
120. <https://www.frontiersin.org/articles/10.3389/fpsy.2024.1439727/full>
121. <http://symposium.cshlp.org/content/83/173.full.pdf>
122. <https://pmc.ncbi.nlm.nih.gov/articles/PMC7098236/>
123. <https://pmc.ncbi.nlm.nih.gov/articles/PMC3776408/>
124. <https://pmc.ncbi.nlm.nih.gov/articles/PMC7334452/>
125. <https://pmc.ncbi.nlm.nih.gov/articles/PMC7878572/>
126. <https://pmc.ncbi.nlm.nih.gov/articles/PMC9017547/>
127. <https://pmc.ncbi.nlm.nih.gov/articles/PMC11638930/>
128. <https://pmc.ncbi.nlm.nih.gov/articles/PMC5201102/>
129. <https://journals.gen.tr/index.php/joa/article/view/2504>

130. <https://doi.apa.org/doi/10.1037/bne0000583>
131. <https://www.ejbm.org/index.php/ejbm/article/view/2401>
132. <https://www.banglajol.info/index.php/CUJBS/article/view/78244>
133. <https://www.researchprotocols.org/2025/1/e64961>
134. https://journals.lww.com/10.4103/OJP.OJP_13_24
135. <https://journal.unhas.ac.id/index.php/icon/article/view/35565>
136. <https://onlinelibrary.wiley.com/doi/10.1002/cesm.12092>
137. <https://pmc.ncbi.nlm.nih.gov/articles/PMC3589811/>
138. <https://pmc.ncbi.nlm.nih.gov/articles/PMC5523013/>
139. <https://pmc.ncbi.nlm.nih.gov/articles/PMC4528822/>
140. https://aacrjournals.org/cancerres/article/84/6_Supplement/1667/736052/Abstract-1667-The-role-of-CN1-in-mutant-K-RAS
141. https://www.ejpd.eu/pdf/EJPD_2024_25_04_01.pdf
142. <https://onlinelibrary.wiley.com/doi/10.1111/j.1369-1600.2011.00386.x>
143. <https://www.semanticscholar.org/paper/816891fb46e28dc31f0c768fc8fbe62b7a0bf52b>
144. <https://www.semanticscholar.org/paper/19d317a2efb13ef86752f21f080444d7e3c874f9>
145. <https://www.nature.com/articles/npp2009102>
146. <http://doi.med.wanfangdata.com.cn/10.3760/cma.j.issn.1674-6554.2015.06.026>
147. <https://www.nature.com/articles/nn.3849>
148. <http://journal.frontiersin.org/article/10.3389/fnbeh.2015.00001/abstract>
149. <https://pmc.ncbi.nlm.nih.gov/articles/PMC5767107/>
150. <https://pmc.ncbi.nlm.nih.gov/articles/PMC9190069/>
151. <https://pmc.ncbi.nlm.nih.gov/articles/PMC3543095/>
152. <https://pmc.ncbi.nlm.nih.gov/articles/PMC4775735/>
153. <https://pmc.ncbi.nlm.nih.gov/articles/PMC3698221/>
154. <https://pmc.ncbi.nlm.nih.gov/articles/PMC4299452/>
155. <https://pmc.ncbi.nlm.nih.gov/articles/PMC4756725/>
156. <https://pmc.ncbi.nlm.nih.gov/articles/PMC5733856/>
157. <https://scienceget.org/index.php/pjmr/article/view/8/39>
158. <http://jbiomedsci.biomedcentral.com/articles/10.1186/s12929-016-0294-8>
159. <http://perspectivesinmedicine.cshlp.org/lookup/doi/10.1101/cshperspect.a012047>
160. <https://www.cureus.com/articles/346868-epigenetic-mechanisms-in-the-transfer-of-metabolic-disorders-a-comprehensive-review>
161. <http://doi.med.wanfangdata.com.cn/10.3760/cma.j.issn.1673-4378.2013.05.017>
162. <https://journals.lww.com/00008877-201710000-00001>
163. <https://www.risksafety.ru/jour/article/view/478>
164. <https://www.risksafety.ru/jour/article/view/499>
165. <https://jurnal.globalhealthsciencegroup.com/index.php/IJGHR/article/view/4774>
166. <https://pmc.ncbi.nlm.nih.gov/articles/PMC3579203/>

167. <https://pmc.ncbi.nlm.nih.gov/articles/PMC4241193/>
168. <https://pmc.ncbi.nlm.nih.gov/articles/PMC4427035/>
169. <https://pmc.ncbi.nlm.nih.gov/articles/PMC3644540/>
170. <https://pmc.ncbi.nlm.nih.gov/articles/PMC3766384/>
171. <https://pmc.ncbi.nlm.nih.gov/articles/PMC4438259/>
172. <https://pmc.ncbi.nlm.nih.gov/articles/PMC6889055/>
173. <https://pmc.ncbi.nlm.nih.gov/articles/PMC4193917/>
174. <https://pmc.ncbi.nlm.nih.gov/articles/PMC8260024/>
175. <https://pmc.ncbi.nlm.nih.gov/articles/PMC8478425/>
176. <https://pmc.ncbi.nlm.nih.gov/articles/PMC7969890/>
177. <https://pmc.ncbi.nlm.nih.gov/articles/PMC6478444/>
178. <https://www.frontiersin.org/articles/10.3389/fimmu.2020.599771/full>
179. <https://pnas.org/doi/full/10.1073/pnas.1722613115>
180. <https://www.nature.com/articles/s41467-025-59849-1>
181. <https://link.springer.com/10.1007/s12035-025-05109-8>
182. <https://alz-journals.onlinelibrary.wiley.com/doi/10.1002/alz.085030>
183. <https://alz-journals.onlinelibrary.wiley.com/doi/10.1002/alz.70331>
184. <http://www.epain.org/journal/view.html?doi=10.3344/kjp.23284>
185. <https://pmc.ncbi.nlm.nih.gov/articles/PMC8446806/>
186. <https://pmc.ncbi.nlm.nih.gov/articles/PMC10415527/>
187. <https://www.mdpi.com/2073-4409/13/23/1988>
188. <https://www.mdpi.com/2073-4409/14/2/86>
189. <https://pmc.ncbi.nlm.nih.gov/articles/PMC5617368/>
190. <https://pmc.ncbi.nlm.nih.gov/articles/PMC4066988/>
191. <https://physoc.onlinelibrary.wiley.com/doi/10.1113/JP286801>
192. <https://www.jneurosci.org/content/jneuro/36/34/8936.full.pdf>
193. <https://pubs.acs.org/doi/10.1021/acscchemneuro.0c00170>
194. <https://www.jneurosci.org/lookup/doi/10.1523/JNEUROSCI.1327-23.2024>
195. <https://www.nature.com/articles/s41386-024-01988-y>
196. <https://pmc.ncbi.nlm.nih.gov/articles/PMC7460819/>
197. <https://pubs.acs.org/doi/10.1021/acs.jmedchem.9b00193>
198. <https://pmc.ncbi.nlm.nih.gov/articles/PMC8835523/>
199. <https://www.mdpi.com/1422-0067/23/3/1209/pdf>
200. <https://pmc.ncbi.nlm.nih.gov/articles/PMC4046255/>
201. <https://pmc.ncbi.nlm.nih.gov/articles/PMC10663466/>
202. <https://www.intechopen.com/books/neurodegenerative-diseases-molecular-mechanisms-and-current-therapeutic-approaches/the-brain-stress-system-in-the-neurobiology-of-the-dark-side-of-addiction-and-its-relation-to-neurod>
203. <https://www.jneurosci.org/lookup/doi/10.1523/JNEUROSCI.2534-20.2021>

204. <http://www.journal-jop.org/journal/view.html?doi=10.3831/KPI.2020.23.001>

205. <https://www.mdpi.com/1422-0067/26/11/5338>

206. <https://nyaspubs.onlinelibrary.wiley.com/doi/10.1111/nyas.14002>

207. <https://genomicpress.kglmeridian.com/view/journals/brainmed/1/1/article-p19.xml>

208. https://deckerip.com/products/medical-cannabis/table-of-contents/?chapter_id=5016

209. https://academic.oup.com/ijnp/article/28/Supplement_2/ii65/8236734

210. https://link.springer.com/10.1007/978-3-319-03248-1_11

211. http://link.springer.com/10.1007/978-3-030-16257-3_3

212. <https://pmc.ncbi.nlm.nih.gov/articles/PMC3859814/>

213. <https://pmc.ncbi.nlm.nih.gov/articles/PMC2805560/>

214. <https://pmc.ncbi.nlm.nih.gov/articles/PMC10917179/>

215. <https://pmc.ncbi.nlm.nih.gov/articles/PMC3717294/>

216. <https://pmc.ncbi.nlm.nih.gov/articles/PMC7878572/>

217. <https://pmc.ncbi.nlm.nih.gov/articles/PMC2442446/>

218. <https://onlinelibrary.wiley.com/doi/pdfdirect/10.1111/add.14424>

219. <https://pmc.ncbi.nlm.nih.gov/articles/PMC6587180/>

220. <https://www.mdpi.com/2813-1851/3/1/3/pdf?version=1705989905>

221. <https://pmc.ncbi.nlm.nih.gov/articles/PMC6135257/>

222. <https://onlinelibrary.wiley.com/doi/10.1111/aos.17396>

223. https://www.cambridge.org/core/product/identifier/S0924270825100173/type/journal_article

224. <https://www.nature.com/articles/s41380-024-02507-7>

225. <https://www.frontiersin.org/articles/10.3389/fimmu.2024.1342467/full>

226. <https://alz-journals.onlinelibrary.wiley.com/doi/10.1002/alz.088297>

227. <https://aacrjournals.org/cancerres/article/81/7/1732/670535/Glia-Selective-Deletion-of-Complement-C1q-Prevents>

228. <https://www.mdpi.com/1422-0067/25/15/8360>

229. <https://journals.rcsi.science/0869-8139/article/view/137940>

230. <https://pmc.ncbi.nlm.nih.gov/articles/PMC7690210/>

231. <https://pmc.ncbi.nlm.nih.gov/articles/PMC8985858/>

232. <https://pmc.ncbi.nlm.nih.gov/articles/PMC10358680/>

233. <https://www.frontiersin.org/articles/10.3389/fnmol.2021.620090/pdf>

234. <https://pmc.ncbi.nlm.nih.gov/articles/PMC10888626/>

235. <http://link.springer.com/10.1007/s11515-016-1424-0>

236. <https://linkinghub.elsevier.com/retrieve/pii/S0006322324008618>

237. <https://onlinelibrary.wiley.com/doi/10.1096/fj.202001016RR>

238. <https://portlandpress.com/biochemj/article/411/2/361/94288/Human-PDE4A8-a-novel-brain-expressed-PDE4-cAMP>

239. <https://pmc.ncbi.nlm.nih.gov/articles/PMC6433792/>

240. <https://onlinelibrary.wiley.com/doi/pdfdirect/10.1002/1873-3468.14902>

241. <https://pmc.ncbi.nlm.nih.gov/articles/PMC5949271/>

242. <https://www.dovepress.com/the-role-of-complement-in-synaptic-pruning-and-neurodegeneration-peer-reviewed-fulltext-article-ITT>

243. <http://biorxiv.org/lookup/doi/10.1101/2024.10.28.618752>

244. <http://link.springer.com/10.1007/s12035-020-01885-7>

245. <https://pmc.ncbi.nlm.nih.gov/articles/PMC10572247/>

246. <https://pmc.ncbi.nlm.nih.gov/articles/PMC8236034/>

247. <https://pmc.ncbi.nlm.nih.gov/articles/PMC3495339/>

248. <https://www.frontiersin.org/articles/10.3389/fnmol.2012.00099/pdf>

249. <https://pmc.ncbi.nlm.nih.gov/articles/PMC3762905/>

250. <https://pmc.ncbi.nlm.nih.gov/articles/PMC3276730/>

251. <https://pmc.ncbi.nlm.nih.gov/articles/PMC8004884/>

252. <https://pmc.ncbi.nlm.nih.gov/articles/PMC6252277/>

253. <https://pmc.ncbi.nlm.nih.gov/articles/PMC3079568/>

254. <https://www.nature.com/articles/s41386-024-01988-y>

255. <https://www.jneurosci.org/content/jneuro/36/34/8936.full.pdf>

256. <https://pmc.ncbi.nlm.nih.gov/articles/PMC4995304/>

257. <https://www.jneurosci.org/lookup/doi/10.1523/JNEUROSCI.1327-23.2024>

258. <https://pubs.acs.org/doi/10.1021/acscchemneuro.0c00170>

259. <https://pmc.ncbi.nlm.nih.gov/articles/PMC5290487/>

260. <https://portlandpress.com/biochemj/article/474/4/597/49573/Identification-of-a-multifunctional-docking-site>

261. <https://febs.onlinelibrary.wiley.com/doi/10.1002/1873-3468.14902>

262. <https://www.mdpi.com/2073-4409/9/5/1254/pdf>

263. <https://www.mdpi.com/1422-0067/23/3/1209/pdf>

264. <https://pmc.ncbi.nlm.nih.gov/articles/PMC8835523/>

265. <https://link.springer.com/10.1007/s11192-023-04687-5>

266. <https://www.frontiersin.org/articles/10.3389/fcimb.2023.1257638/full>

267. <http://link.springer.com/10.1007/s11192-015-1644-0>

268. <https://www.mdpi.com/2076-3425/15/5/453>

269. <https://onlinelibrary.wiley.com/doi/10.1087/20140106>

270. <https://genomicpress.kglmeridian.com/view/journals/brainmed/aop/article-10.61373-bm025k.0086/article-10.61373-bm025k.0086.xml>

271. https://aacrjournals.org/cancerimmunolres/article/12/10_Supplement/A026/748900/Abstract-A026-Lysosomal-ion-gradients-are-key

272. <https://pubs.acs.org/doi/10.1021/acscchemneuro.1c00621>

273. <https://iopscience.iop.org/article/10.1149/MA2024-027996mtgabs>

274. <https://pmc.ncbi.nlm.nih.gov/articles/PMC10581562/>

275. <https://pmc.ncbi.nlm.nih.gov/articles/PMC11448866/>

276. <https://www.mdpi.com/2073-4409/14/2/86>

277. <https://pmc.ncbi.nlm.nih.gov/articles/PMC11763391/>

278. <https://www.frontiersin.org/articles/10.3389/fnagi.2021.722580/pdf>

279. <https://pmc.ncbi.nlm.nih.gov/articles/PMC6216030/>

280. <https://pmc.ncbi.nlm.nih.gov/articles/PMC4066988/>

281. <https://pmc.ncbi.nlm.nih.gov/articles/PMC11410141/>

282. <https://www.semanticscholar.org/paper/bc77714a6834eafd63a6ac7961b2f431c7e184c5>

283. <https://onlinelibrary.wiley.com/doi/10.1111/crj.12019>

284. <https://academic.oup.com/jsm/article/11/10/2365/6958152>

285. <http://ccforum.biomedcentral.com/articles/10.1186/cc1488>

286. <https://www.mdpi.com/1422-0067/24/23/17017/pdf?version=1701408934>

287. <https://pmc.ncbi.nlm.nih.gov/articles/PMC8799862/>

288. <https://www.mdpi.com/1420-3049/30/3/692>

289. <https://pmc.ncbi.nlm.nih.gov/articles/PMC10707411/>

290. <https://www.mdpi.com/1422-0067/25/15/8052>

291. <https://pmc.ncbi.nlm.nih.gov/articles/PMC1573369/>

292. <https://pmc.ncbi.nlm.nih.gov/articles/PMC1223165/>

293. <https://www.mdpi.com/1422-0067/23/18/10616/pdf?version=1663067924>

294. <https://pmc.ncbi.nlm.nih.gov/articles/PMC11820465/>

295. <https://pmc.ncbi.nlm.nih.gov/articles/PMC4371794/>

296. <https://www.mdpi.com/1422-0067/24/14/11518/pdf?version=1689419752>

297. <https://pmc.ncbi.nlm.nih.gov/articles/PMC9502408/>

298. <https://pmc.ncbi.nlm.nih.gov/articles/PMC1223190/>

299. <https://link.springer.com/10.1007/s11606-023-08313-1>

300. <https://link.springer.com/10.1007/s11739-022-03119-1>

301. <https://link.springer.com/10.1007/s11606-022-07946-y>

302. <https://www.ijccm.org/doi/10.5005/jp-journals-10071-24614>

303. https://journals.lww.com/10.4103/tjem.tjem_45_23

304. <http://systematicreviewsjournal.biomedcentral.com/articles/10.1186/s13643-016-0356-8>

305. <https://journals.lww.com/10.1097/MD.00000000000023801>

306. <https://institutionalrepository.aah.org/jpcrr/vol7/iss3/4>

307. <https://dx.plos.org/10.1371/journal.pone.0170056>

308. <https://www.frontiersin.org/articles/10.3389/fphar.2024.1407871/full>

309. <https://www.frontiersin.org/articles/10.3389/fphar.2018.01048/pdf>

310. <https://pmc.ncbi.nlm.nih.gov/articles/PMC11194378/>

311. <https://dx.plos.org/10.1371/journal.pone.0305934>

312. <https://journalajpr.com/index.php/AJPR/article/view/359>

313. <https://febs.onlinelibrary.wiley.com/doi/10.1111/febs.17359>

314. <https://www.semanticscholar.org/paper/49296a23b6692a6804de425b90df07e4d2460625>

315. <https://pubs.acs.org/doi/10.1021/jm970685m>

316. <https://www.imrpess.com/journal/FBL/28/7/10.31083/j.fbl2807133>

317. [https://onlinelibrary.wiley.com/doi/10.1002/1521-3838\(200105\)20:1<17::AID-QSAR17>3.0.CO;2-X](https://onlinelibrary.wiley.com/doi/10.1002/1521-3838(200105)20:1<17::AID-QSAR17>3.0.CO;2-X)

318. <https://medicine.dp.ua/index.php/med/article/view/996>

319. <https://pmc.ncbi.nlm.nih.gov/articles/PMC8004924/>

320. <https://pmc.ncbi.nlm.nih.gov/articles/PMC5712142/>

321. <https://pmc.ncbi.nlm.nih.gov/articles/PMC9618167/>

322. <https://pmc.ncbi.nlm.nih.gov/articles/PMC4511101/>

323. <https://pmc.ncbi.nlm.nih.gov/articles/PMC4378417/>

324. <http://medrxiv.org/cgi/content/short/2025.04.29.25326658v1?rss=1>

325. <https://onlinelibrary.wiley.com/doi/10.1111/ejn.12644>

326. <https://pmc.ncbi.nlm.nih.gov/articles/PMC6829168/>

327. <https://www.mdpi.com/2227-9059/11/7/1796/pdf?version=1687513307>

328. <https://pmc.ncbi.nlm.nih.gov/articles/PMC6599555/>

329. <https://pmc.ncbi.nlm.nih.gov/articles/PMC3120118/>

330. <https://pmc.ncbi.nlm.nih.gov/articles/PMC3138832/>

331. <https://pmc.ncbi.nlm.nih.gov/articles/PMC5617368/>

332. <https://pmc.ncbi.nlm.nih.gov/articles/PMC4119850/>

333. <https://pmc.ncbi.nlm.nih.gov/articles/PMC6667748/>

334. <https://pmc.ncbi.nlm.nih.gov/articles/PMC10376598/>

335. <https://pmc.ncbi.nlm.nih.gov/articles/PMC5026208/>

336. <https://pmc.ncbi.nlm.nih.gov/articles/PMC7453825/>

337. <https://pmc.ncbi.nlm.nih.gov/articles/PMC10444012/>

338. <https://pmc.ncbi.nlm.nih.gov/articles/PMC3552373/>

339. <https://pmc.ncbi.nlm.nih.gov/articles/PMC3639428/>

340. <https://pmc.ncbi.nlm.nih.gov/articles/PMC10473658/>

341. <https://pmc.ncbi.nlm.nih.gov/articles/PMC6725999/>

342. <https://pmc.ncbi.nlm.nih.gov/articles/PMC11693614/>

343. <https://ppl-ai-code-interpreter-files.s3.amazonaws.com/web/direct-files/9106bdd96e0f48e39bc0eea42615dc73/e73cf075-4174-4627-88a4-fdd69cb1d89e/3657d300.csv>

344. <https://ppl-ai-code-interpreter-files.s3.amazonaws.com/web/direct-files/14a647b1f73094ba6cbd835e4d7040e2/6a7694df-a4a4-4695-9c8e-10bbd13f7e1b/2c6d92b8.csv>

345. https://ppl-ai-code-interpreter-files.s3.amazonaws.com/web/direct-files/14a647b1f73094ba6cbd835e4d7040e2/fba93353-5531-4aa2-8721-40f543a64e2d/pdf_787a614e.pdf